

Метод Лапласа для найпростіших діаграм пружного розсіяння скалярних частинок

І.В. Шарф, Т.М. Зеленцова, Н.О. Чудак, О.С. Потієнко, Д.А. Пташинський,
К.К. Меркотан, Т.В. Юшкевич, А.О. Мілева

22 грудня 2024 р.

*Одеський національний політехнічний університет,
Прспект Шевченка 1, Одеса, 65044, Україна*

Анотація

Запропоновано алгоритм застосування методу Лапласа для розрахунку найпростішої діаграми Р. Фейнмана з однією петлею, що виникає в найпростішій скалярній теорії ϕ^3 . Розрахунок внеску такої діаграми в амплітуду розсіяння потребує обчислення чотирикратного інтегралу по компонентах чотири імпульсу, що циркулює по петлі. Суть методу Лапласа для розрахунку багатократних інтегралів полягає в тому, що якщо модуль підінтегрального виразу має всередині області інтегрування точку достатньо гострого максимуму, то інтеграл можна замінити гаусовим інтегралом шляхом представлення підінтегральної функції в виді експоненти від її логарифму і розкладу цього логарифму в ряд Тейлора в околі точки максимуму з обмеженням доданками другого ступеню. В роботі показано, що всередині чотиривимірної області інтегрування є дві двовимірні поверхні, які не перетинаються між собою, і на яких досягається максимум модуля підінтегрального виразу. При цьому виникає проблема, яка полягає в тому, що підінтегральний вираз неаналітично залежить від параметрів, які відповідають за обхід полюсів. Також неаналітично від цих параметрів залежать і похідні від логарифму амплітуди розсіяння. Проте, в роботі показано, що ці неаналітичності компенсують одна одну. Так відбувається тому, що при наближенні параметрів, які визначають обхід полюсів, до нуля, неаналітичність амплітуди спрямовує «висоту» максимуму до нескінченості, а неаналітичність похідних наближує «ширину» максимуму до нуля. Оскільки основний внесок в інтеграл робить малий окіл кожної з поверхонь, то в роботі проведено розгляд внеску кожного з цих околів окремо, а внесок діаграми в амплітуду розсіяння розраховано як суму внесків цих околів. Для кожного з цих внесків шляхом переходу до відповідних змінних інтегрування вдається виключити неаналітичність, після чого параметри, які відповідають за обхід полюсів можуть бути наближені до нуля. В результаті такої процедури три з чотирьох інтегрувань можна виконати аналітично і розрахунок внеску діаграми в амплітуду розсіяння зводиться до чисельного обчислення однократного інтегралу в скінчених границях від виразу, який не містить неаналітичностей. Описаний метод розрахунку застосовано до побудови моделі залежності диференційного перерізу пружного розсіяння $\frac{d\sigma_{el}}{dt}(t)$ від квадрату переданого чотириімпульсу t – манделстамівської змінної. Розрахунок проводився до діаграм, отриманих в межах методу багаточастинкових полів. Отриманий результат має дві характерні особливості. По-перше модель призводить до скінченого значення амплітуди розсіяння при $t = 0$ (на відміну від теорії збурень КХД). По друге

модель призводить до немонотонності залежності $\frac{d\sigma_{el}}{dt}(t)$. Подібна немонотонність добре відома з експериментальних даних щодо пружного розсіяння частинок у випадку, коли хоча б одна з частинок в початковому стані має ненульовий спін. На жаль, нам не вдалося знайти аналогічних експериментальних даних для пружного розсіяння двох частинок із нульовим спіном. Тому невідомо чи має місце ефект немонотонності у випадку пружного розсіяння скалярних частинок. Проте в роботі аналізується фізичний механізм, який призводить до вказаної немонотонності. Цей механізм матиме місце і при розгляді розсіяння частинок із спіном, але в цьому випадку він буде не єдиним механізмом немонотонності. Запропонований в роботі метод розрахунку може бути в подальшому застосований для аналізу внеску різних механізмів немонотонності $\frac{d\sigma_{el}}{dt}(t)$ при описі розсіяння частинок із нульовим спіном.

1 Вступ

На протязі довгого часу діаграми Фейнмана використовуються як інструмент для розрахунку спостережних в експерименті квантово-польових процесів [1], проте достатньо ефективного методу розрахунку внесків діаграм з петлями на сьогоднішній день не існує. Труднощі розрахунків інтегралів, що відповідають діаграмам Фейнмана разом із сумнівами в можливості застосування теорії збурень у випадку великих значень константи зв'язку призвели до формулювання різних феноменологічних підходів до розрахунків експериментальних характеристик розсіяння [2–11], що дозволяють уникнути прямих розрахунків багатовимірних інтегралів по чотириімпульсах віртуальних частинок. Серед цих моделей, найбільш популярними є ті, що пов'язані з реджіонною теорією. Проблеми цих моделей детально розглядалися в роботах [12, 13]. Ще одним напрямком подолання труднощів, пов'язаних із розрахунком інтегралів, що відповідають багатопетльовим діаграмам Фейнмана є застосування методу Монте-Карло для багатовимірних інтегралів [14–16]. Але застосування методу Монте-Карло є складною процедурою, яка потребує великого обсягу чисельних розрахунків і при цьому є малоефективною з точки зору виявлення фізичних механізмів, відповідальних за ту чи іншу поведінку величин, що спостерігаються в експерименті. Метод, який ми збираємось запропонувати в цій роботі є значно простішим і потребує значно меншого об'єму обчислень. Цей метод оснований на застосуванні відомого методу Лапласа [17] для багатовимірних інтегралів. Застосування методу Лапласа значно спрощує розрахунки внесків у перерізи безпетльових, а також деяких петльових діаграм Фейнмана [12, 13, 18]. Всі діаграми, що розглядалися в згаданих роботах мали таку властивість, що особливі точки підінтегральних виразів, до яких застосовувався метод Лапласа, знаходилися поза областю інтегрування. Це дозволяло малі комплексні параметри фейнманівських знаменників, які відповідають за «правильний» обхід полюсів (ми будемо позначати їх далі як зазвичай $i\varepsilon$), наблизити до нуля ще до розрахунку інтегралу. При розгляді діаграм пружного розсіяння, ми не маємо такої спрощеної обставини. Для діаграм пружного розсіяння в області інтегрування можна виділити такі її підмножини, на яких підінтегральний вираз стане нескінченим і інтеграл втратить сенс, якщо згадані малі параметри наблизити до нуля. В такому випадку наблизити параметри до нуля ще до розрахунку інтегралу неможливо. Тому до проблеми чисельного розрахунку інтегралу додається проблема чисельного здійснення граничного переходу. З іншого боку, оскільки інтеграл в кінцевому рахунку існує, це означає, що нескінченості підінтегрального виразу, що виникають при наближенні $i\varepsilon$ до нуля повинні компенсуватися наближенням до нуля мір цих підмножин, на яких ці нескінченості досягаються. Тобто при ненульовому, але малому $i\varepsilon$ до граничного переходу підінтегральний вираз буде мати різкий максимум, «висота» якого

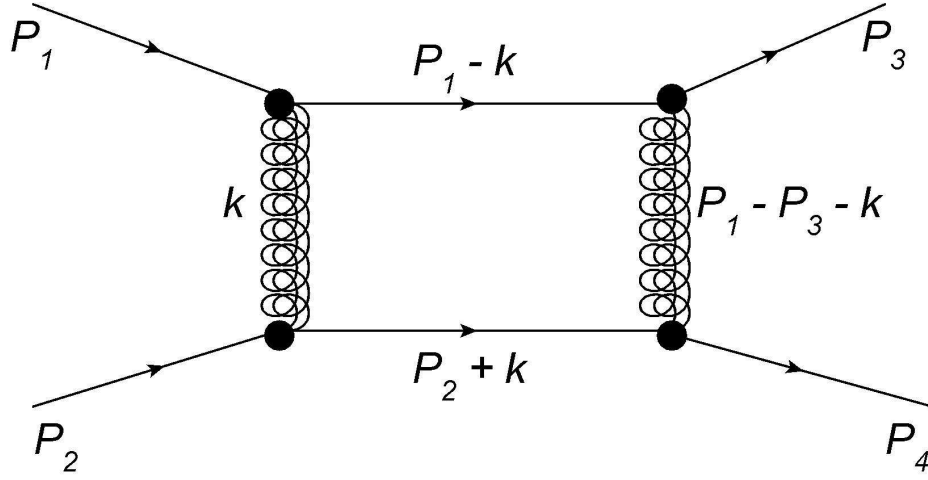


Рис. 1: Найпростіша петльова діаграма пружного розсіяння мезонів. Горизонтальні лінії відповідають розповсюдженню мезонів, де P_1, P_2 - чотириімпульси вхідних мезонів, P_3, P_4 - чотириімпульси вихідних мезонів, $k, P_1 - k, P_2 + k, P_1 - P_3 - k$ - чотириімпульси віртуальних частинок. Подвійні лінії відповідають зв'язаному стану глюонів – глюоболам.

наближатиметься до нескінченості при $i\epsilon \rightarrow 0$. Але й «ширина» максимуму також наближатиметься до нуля при $i\epsilon \rightarrow 0$ і ці два ефекти повинні компенсувати один одного. Вже ця обставина могла б дозволити застосувати до розрахунку інтегралу метод Лапласа, в якому роль «ширини» максимуму визначається детермінантом матриці других похідних від логарифму підінтегрального виразу в околі точки максимуму. Однак метод Лапласа можна застосувати простіше і математично більш обґрунтовано за допомогою алгоритму, який пояснимо на прикладі найпростіших петльових діаграм пружного розсіяння. Цей алгоритм планується застосовувати для діаграм пружного розсіяння з довільною кількістю петель. Метою роботи є запропонувати ефективний метод розрахунку діаграм Р.Фейнмана і застосувати його на прикладі найпростішої діаграми з однією петлею. Розглянемо найпростішу діаграму пружного розсіяння з однією петлею (Рис.1). Оскільки у експериментах з пружного розсіяння адронів, наприклад протон-протонного розсіяння, найбільший інтерес представляє модель взаємодіючих багаточастинкових [19, 20], біспінорного (протонного) і глюобольного полів. Однак така модель потребує великого об'єму обчислень, тому в даній роботі ми пропонуємо розглянути модель із скалярними частинками, яка відповідає розсіянню мезонів. Аналітичний вираз, що відповідає діаграмі на Рис.1 має вид:

$$A_1 = G^4 \int d^4k \frac{1}{M_\mu^2 - (P_1 - k)^2 - i\epsilon} \frac{1}{M_\mu^2 - (P_2 + k)^2 - i\epsilon} \times \frac{1}{M_G^2 - k^2 - i\epsilon} \frac{1}{M_G^2 - (P_1 - P_3 - k)^2 - i\epsilon}. \quad (1)$$

Позначення M_μ і M_G означають масу мезону і масу глюоболу відповідно. Всі величини розглядаються обзрозміреними на масу мезону. Позначення G означає ефективну константу зв'язку. Маса глюоболу і константа G озглядаються як підгінні параметри задачі.

Якщо ми за допомогою методу Лапласа будемо шукати точки максимуму підінтегрального виразу до $i\epsilon \rightarrow 0$, то значення підінтегральної функції в точці максимуму буде наближатися до нескінченності. Окрім того, сама функція, а відтак і її логарифм не можна буде предста-

вити рядом Тейлора і обмежитися в цьому ряді доданками другого порядку. Для розв'язку зазначеної проблеми ми пропонуємо наступний підхід. Розглянемо ситуацію, коли $i\varepsilon$ ще не наближене до 0, але має мале значення. Підінтегральний вираз в формулі (1) містить добуток чотирьох знаменників. Під «знаменниками» будемо мати на увазі вирази:

$$\begin{aligned} Z_1 &= M_\mu^2 - (P_1 - k)^2, Z_2 = M_\mu^2 - (P_2 + k)^2, \\ Z_3 &= M_G^2 - k^2, Z_4 = M_G^2 - (P_1 - P_3 - k)^2. \end{aligned} \quad (2)$$

Тобто, мова йде про вирази, які залишилися б у знаменниках дробів у (1) після граничного переходу $i\varepsilon \rightarrow 0$. Внаслідок малості основний внесок в інтеграл буде вносити область, в якій найбільша кількість знаменників (2) дорівнює нулю. Якщо цю кількість позначити як n , то на ній підінтегральний вираз матиме величину $1/\varepsilon^n$ і чим більше буде n , тим більшою буде ця величина.

2 Системи рівнянь для одночасного обернення в нуль знаменників (2)

Оскільки величина A_1 , яка визначається співвідношенням (1) є Лоренц-інваріантною, її можна розраховувати в будь-якій системі відліку. З міркувань зручності розрахунку в якості системи відліку оберемо систему центру мас вихідних частинок. При цьому третю координатну вісь системи координат спрямуємо уздовж тривимірного імпульсу \vec{P}_1 , першу оберемо перпендикулярно третій, але так щоб вона належала площині імпульсів \vec{P}_1 і \vec{P}_3 , а другу - перпендикулярно площині першої і третьої так, щоб утворилася права система координат.

Розглянемо системи рівнянь, які утворюватимуться, якщо одночасно прирівняти до нуля два знаменники з тих, що наведені в (2). Розглянемо спочатку такі комбінації, в яких один із знаменників відповідає горизонтальній лінії на рис.1, а один - вертикальній. Почнемо з пари знаменників Z_2 і Z_3 . Якщо записати для цих знаменників вирази по відношенню до системи центру мас вихідних частинок, то отримаємо систему рівнянь

$$\begin{cases} M_\mu^2 - (\sqrt{s}/2 + k^0)^2 + (k^1)^2 + (k^2)^2 + (-P + k^3)^2 = 0, \\ M_G^2 - (k^0)^2 + (k^1)^2 + (k^2)^2 + (k^3)^2 = 0. \end{cases} \quad (3)$$

Оскільки обидва вирази в лівих частинах рівнянь системи (3) повинні дорівнювати нулю, як наслідок - вони повинні дорівнювати один одному:

$$\begin{aligned} M_\mu^2 - (\sqrt{s}/2 + k^0)^2 + (k^1)^2 + (k^2)^2 + (P - k^3)^2 = \\ = M_G^2 - (k^0)^2 + (k^1)^2 + (k^2)^2 + (k^3)^2. \end{aligned} \quad (4)$$

З цього рівняння видно, що квадратичні по компонентам чотириветора k доданки однаково входять в обидві частини рівності. Тому їх можна відняти від обох частин рівності. В результаті отримаємо простий зв'язок між компонентами k^0 і k^3 :

$$k^0 = -\frac{2P}{\sqrt{s}}k^3 - \frac{M_G^2}{\sqrt{s}}. \quad (5)$$

Підставляючи (5) в друге рівняння системи (3), отримаємо:

$$M_G^2 - \left(-\frac{2P}{\sqrt{s}}k^3 - \frac{M_G^2}{\sqrt{s}}\right)^2 + (k^1)^2 + (k^2)^2 + (k^3)^2 = 0. \quad (6)$$

Розкриваючи в цьому виразі дужки і виділяючи повний квадрат по k^3 після перетворення отримаємо

$$M_G^2 \left(1 - \frac{M_G^2}{4M_\mu^2}\right) + (k^1)^2 + (k^2)^2 + \frac{4M_\mu^2}{s} \left(k^3 - \frac{M_G^2 P}{2M_\mu^2}\right)^2 = 0. \quad (7)$$

Приймаючи умову

$$M_G \leq 2M_\mu \quad (8)$$

як це обговорювалося у вступі, бачимо що у випадку коли реалізується знак «менше» рівняння (7) не має жодного розв'язку, а у випадку «дорівнює» будемо мати лише одну трійку чисел k^1, k^2, k^3 яка задовольняє цьому рівнянню, але з одним значенням k^0 , що знайдеться з (5) утворить множину нульової міри в області інтегрування (1) і тому не дасть внеску в інтеграл. Отже рівняння системи (3) є несумісними і знаменники Z_2 і Z_3 одночасно в нуль не обертаються.

Для першого і третього знаменників отримуємо систему

$$\begin{cases} M_\mu^2 - (\sqrt{s}/2 - k^0)^2 + (k^1)^2 + (k^2)^2 + (P - k^3)^2 = 0, \\ M_G^2 - (k^0)^2 + (k^1)^2 + (k^2)^2 + (k^3)^2 = 0. \end{cases} \quad (9)$$

Ця система відрізняється від (3) лише заміною $k^0 \rightarrow -k^0$. Роблячи таку заміну отримаємо ту ж систему що й (3), відповідно з тим самим висновком, що така система не має розв'язків. Отже перший і третій знаменники одночасно нулю дорівнювати не можуть.

Для першого і четвертого знаменників отримуємо систему

$$\begin{cases} M_\mu^2 - \left(\frac{\sqrt{s}}{2} - k^0\right)^2 + (k^1)^2 + (k^2)^2 + (P - k^3)^2 = 0, \\ M_G^2 - (k^0)^2 + (-P \sin(\theta) - k^1)^2 + (k^2)^2 + (P(1 - \cos(\theta)) - k^3)^2 = 0. \end{cases} \quad (10)$$

Тут як завжди θ позначено кут між векторами \vec{P}_1 і \vec{P}_3 . Або при нашому виборі вісів, θ є кут, який вектор \vec{P}_3 утворює з третьою координатною віссю (кут із першою віссю при обговореному виборі системи координат буде $\pi/2 - \theta$, а з другою $-\pi/2$)

$$\begin{cases} \sqrt{s}k^0 - 2Pk_3 - (k^0)^2 + (k^1)^2 + (k^2)^2 + (k^3)^2 = 0, \\ M_G^2 + 2P^2(1 - \cos(\theta)) + 2P \sin(\theta)k^1 + 2P \cos(\theta)k^3 - \\ - 2Pk_3 - (k^0)^2 + (k^1)^2 + (k^2)^2 + (k^3)^2 = 0. \end{cases} \quad (11)$$

Знов прирівнюючи вирази в лівих частинах рівностей (11), як це було зроблено для (3), матимемо:

$$k^0 = \frac{M_G^2 + 2P^2(1 - \cos(\theta)) + 2P(\sin(\theta)k^1 + \cos(\theta)k^3)}{\sqrt{s}}. \quad (12)$$

Підставляючи це співвідношення в друге з рівнянь системи (10) отримуємо

$$\begin{aligned} & M_G^2 + 2P^2(1 - \cos(\theta)) + 2P \sin(\theta)k^1 + 2P \cos(\theta)k^3 - 2Pk^3 - \\ & - \left(\frac{M_G^2 + 2P^2(1 - \cos(\theta)) + 2P \sin(\theta)k^1 + 2P \cos(\theta)k^3}{\sqrt{s}} \right)^2 + \\ & + (k^1)^2 + (k^2)^2 + (k^3)^2 = 0. \end{aligned} \quad (13)$$

Далі зручно перейти до нових координат

$$\begin{cases} \sin(\theta)k^1 + \cos(\theta)k^3 = q^1, \\ \cos(\theta)k^1 - \sin(\theta)k^3 = q^3, \\ k^2 = q^2. \end{cases} \quad (14)$$

В цих координатах рівняння (13) приймає вид

$$M_G^2 + 2P^2(1 - \cos(\theta)) + 2Pq^1 - 2P(\cos(\theta)q^1 - \sin(\theta)q^3) - \left(\frac{M_G^2 + 2P^2(1 - \cos(\theta)) + 2Pq^1}{\sqrt{s}} \right)^2 + (q^1)^2 + (q^2)^2 + (q^3)^2 = 0. \quad (15)$$

Виділяючи в цьому співвідношенні повні квадрати по q^1 і q^3 після перетворень, отримаємо співвідношення:

$$M_G^2 \left(1 - \frac{M_G^2}{4M_\mu^2} \right) + \frac{4M_\mu^2}{s} \left(q^1 + \frac{P(2M_\mu^2(1 - \cos(\theta)) - M_G^2)}{2M_\mu^2} \right)^2 + (q^2)^2 + (q^3 + P \sin(\theta))^2 = 0. \quad (16)$$

З цього співвідношення видно, що й Z_1 і Z_4 не можуть дорівнювати нулю одночасно.

Для другого і четвертого знаменників отримаємо систему

$$\begin{cases} M_\mu^2 - (\sqrt{s}/2 + k^0)^2 + (k^1)^2 + (k^2)^2 + (-P + k^3)^2 = 0, \\ M_G^2 - (k^0)^2 + (-P \sin(\theta) - k^1)^2 + (k^2)^2 + (P(1 - \cos(\theta)) - k^3)^2 = 0. \end{cases} \quad (17)$$

яка знов відрізняється від (10) лише заміною k^0 на $-k^0$. Тому вводячи замість k^0 нову змінну $q^0 = -k^0$ отримаємо систему, яка не має розв'язків. Це означає, що й система (17) також розв'язків не має.

Отже можемо зробити висновок, що жоден із знаменників, що відповідають вертикальним лініям не дорівнює одночасно нулю разом з жодним із знаменників, що відповідають горизонтальним лініям. Звідси можемо зробити висновок, що ані всі чотири знаменники, ані жодні три з них не можуть дорівнювати нулю одночасно.

Розглянемо тепер можливість одночасного обертання в нуль для двох знаменників, що відповідають горизонтальним лініям діаграми рис.1, тобто першого і другого знаменників. Відповідна система рівнянь в системі центру мас вихідних частинок має вид:

$$\begin{cases} M_\mu^2 - \left((\sqrt{s}/2 - k^0)^2 - (k^1)^2 - (k^2)^2 - (P - k^3)^2 \right) = 0, \\ M_\mu^2 - \left((\sqrt{s}/2 + k^0)^2 - (k^1)^2 - (k^2)^2 - (-P + k^3)^2 \right) = 0. \end{cases} \quad (18)$$

Враховуючи, що $P^2 = s/4 - M_\mu^2$, ці два рівняння можна переписати в виді:

$$\begin{cases} \sqrt{s}k^0 - (k^0)^2 + (k^1)^2 + (k^2)^2 - 2Pk^3 + (k^3)^2 = 0, \\ -\sqrt{s}k^0 - (k^0)^2 + (k^1)^2 + (k^2)^2 - 2Pk^3 + (k^3)^2 = 0. \end{cases} \quad (19)$$

Віднімаючи від першого з цих рівнянь друге отримаємо $2\sqrt{s}k^0 = 0$, звідки $k^0 = 0$. Підставляючи $k^0 = 0$ в будь-яке з рівнянь системи (19) після перетворень отримаємо рівняння $(k^1)^2 + (k^2)^2 + (k^3 - P)^2 = P^2$.

Отже серед множини стовпців виду

$$k = \begin{pmatrix} k^0 \\ k^1 \\ k^2 \\ k^3 \end{pmatrix}$$

можемо виділити підмножину тих стовпців, компоненти яких задовольняють системі рівнянь

$$\begin{cases} k^0 = 0, \\ (k^1)^2 + (k^2)^2 + (k^3 - P)^2 = P^2. \end{cases} \quad (20)$$

Цю підмножину будемо далі називати «підмножиною 1». На цій підмножині перші два знаменники дорівнюють нулю і тому ця підмножина дає внесок в інтеграл максимально можливого порядку $1/\varepsilon^2$. В наступному розділі ми розглянемо внесок підмножини 1 в інтеграл (1).

Розглянемо тепер можливість рівності нулю третього і четвертого знаменників одночасно. Перед тим як розглядати відповідну систему рівнянь зручно зробити заміну змінних інтегрування. Після заміни маємо

$$A_1 = G^4 \int d^4 q \frac{1}{M_\mu^2 - (\frac{1}{2}(P_1 + P_3) - q)^2 - i\varepsilon} \frac{1}{M_\mu^2 - (\frac{1}{2}(P_4 + P_2) + q)^2 - i\varepsilon} \frac{1}{M_G^2 - (\frac{1}{2}(P_1 - P_3) + q)^2 - i\varepsilon} \frac{1}{M_G^2 - (\frac{1}{2}(P_1 - P_3) - q)^2 - i\varepsilon}. \quad (21)$$

Також спростити подальший розгляд можна спеціальним вибором напрямків координатних вісів в системі центру мас вихідних частинок. Але можна ввести нові зручніші координати. Оскільки

$$|\vec{P}_1| = |\vec{P}_2| = |\vec{P}_3| = |\vec{P}_4| = \sqrt{s/4 - M_\mu^2} \equiv P$$

то паралелограм, побудований на векторах \vec{P}_1 і \vec{P}_3 є ромбом і його діагоналі, уздовж яких напрямлені вектори $\vec{P}_1 + \vec{P}_3$ і $\vec{P}_1 - \vec{P}_3$ є перпендикулярними. Тому зручно вісь 3 спрямувати уздовж вектору $\vec{P}_1 - \vec{P}_3$, а вісь 1 – уздовж $\vec{P}_1 + \vec{P}_3$. Вісь 2 залишається спрямувати перпендикулярно площині 1 і 3 так, щоб утворилася права система. Окрім того оскільки $\vec{P}_4 = -\vec{P}_3$, $\vec{P}_2 = -\vec{P}_1$, вектор $\vec{P}_4 + \vec{P}_2$, напрямлений протилежно $\vec{P}_1 + \vec{P}_3$, тобто у від'ємному напрямку вісі 1. Тоді

$$\begin{aligned} \frac{1}{2}(P_1 - P_3) &= \begin{pmatrix} 0 \\ 0 \\ 0 \\ \frac{1}{2}|\vec{P}_1 - \vec{P}_3| \end{pmatrix}, \quad \frac{1}{2}(P_1 + P_3) = \begin{pmatrix} \sqrt{s}/2 \\ \frac{1}{2}|\vec{P}_1 + \vec{P}_3| \\ 0 \\ 0 \end{pmatrix}, \\ \frac{1}{2}(P_2 + P_4) &= \begin{pmatrix} \sqrt{s}/2 \\ -\frac{1}{2}|\vec{P}_1 + \vec{P}_3| \\ 0 \\ 0 \end{pmatrix}. \end{aligned} \quad (22)$$

Компоненти цих стовпців можна виразити через інваріанти Манделстама:

$$\begin{aligned} \frac{1}{2}(P_1 - P_3) &= \begin{pmatrix} 0 \\ 0 \\ 0 \\ \sqrt{|t|}/2 \end{pmatrix}, \quad \frac{1}{2}(P_1 + P_3) = \begin{pmatrix} \sqrt{s}/2 \\ \sqrt{P^2 - |t|/4} \\ 0 \\ 0 \end{pmatrix}, \\ \frac{1}{2}(P_2 + P_4) &= \begin{pmatrix} \sqrt{s}/2 \\ -\sqrt{P^2 - |t|/4} \\ 0 \\ 0 \end{pmatrix}. \end{aligned} \quad (23)$$

З урахуванням цих співвідношень, внесок діаграми рис.1 може бути записаний в виді, в якому третій і четвертий знаменники приймають найбільш простий вид:

$$\begin{aligned} A_1 &= G^4 \int_{-\infty}^{+\infty} dq^0 \int_{-\infty}^{+\infty} dq^1 \int_{-\infty}^{+\infty} dq^2 \int_{-\infty}^{+\infty} dq^3 \\ &\frac{1}{M_\mu^2 - (\sqrt{s}/2 - q^0)^2 + \left(\sqrt{P^2 - |t|/4} - q^1\right)^2 + (q^2)^2 + (q^3)^2 - i\varepsilon} \\ &\frac{1}{M_\mu^2 - (\sqrt{s}/2 + q^0)^2 + \left(\sqrt{P^2 - |t|/4} - q^1\right)^2 + (q^2)^2 + (q^3)^2 - i\varepsilon} \\ &\frac{1}{M_G^2 - (q^0)^2 + (q^1)^2 + (q^2)^2 + \left(\sqrt{|t|}/2 + q^3\right)^2 - i\varepsilon} \\ &\frac{1}{M_G^2 - (q^0)^2 + (q^1)^2 + (q^2)^2 + \left(\sqrt{|t|}/2 - q^3\right)^2 - i\varepsilon}. \end{aligned} \quad (24)$$

Відповідно, вимагаючи щоб третій і четвертий знаменники дорівнювали нулю, отримаємо систему рівнянь

$$\begin{cases} M_G^2 + |t|/4 - (q^0)^2 + (q^1)^2 + (q^2)^2 + (q^3)^2 + \sqrt{|t|}q^3 = 0, \\ M_G^2 + |t|/4 - (q^0)^2 + (q^1)^2 + (q^2)^2 + (q^3)^2 - \sqrt{|t|}q^3 = 0. \end{cases} \quad (25)$$

Розв'язуючи цю систему отримаємо умови на підмножину множини стовпців

$$q = \begin{pmatrix} q^0 \\ q^1 \\ q^2 \\ q^3 \end{pmatrix},$$

по компонентах яких здійснюється інтегрування в (24), на якій дорівнюють нулю одночасно третій і четвертий знаменники. Цю підмножину, яку далі будемо називати « підмножиною 2» утворюють стовпці, компоненти яких задовольняють системі рівнянь:

$$\begin{cases} q^3 = 0, \left(\sqrt{|t|} \neq 0\right) \\ M_G^2 + |t|/4 - (q^0)^2 + (q^1)^2 + (q^2)^2 = 0. \end{cases} \quad (26)$$

Умова $(\sqrt{|t|} \neq 0)$ означає що випадок $t = 0$, ми збираємось розглядати як границю виразу (24) при наближенні $t \rightarrow -0$. Більш докладно цю границю ми розглянемо далі. Підмножина 2, яка визначається рівняннями (26) також як і розглянута вище підмножина 1 вносить в інтеграл (24), або в (21) внесок найбільшого можливого порядку $1/\varepsilon^2$. Розглянемо тепер послідовно внески підмножин 1 і 2 в інтеграл, що відповідає діаграмі рис.1.

3 Розрахунок внеску підмножини 1 в інтеграл для діаграми рис.1

Для опису внеску підмножини 1 зручно розглядати інтеграл в змінних інтегрування k , тобто в виді інтеграла (1), в той час як для підмножини 2 буде зручніше виходити з представлення інтегралу в виді (21). Обираючи вісі координат таким чином щоб вісь 3 була спрямована уздовж вектору \vec{P}_1 , вісь 1 була спрямована перпендикулярно вісі 3 в тій площині, в якій лежать всі чотири вектори $\vec{P}_1, \vec{P}_2, \vec{P}_3, \vec{P}_4$, а вісь 2 була перпендикулярна цій площині і утворювала з вісями 1 і 3 праву систему координат, для інтеграла (1) отримаємо вираз:

$$\begin{aligned}
A_1 &= G^4 \int_{-\infty}^{+\infty} dk_0 \int_{-\infty}^{+\infty} dk_1 \int_{-\infty}^{+\infty} dk_2 \int_{-\infty}^{+\infty} dk_3 \\
&\frac{1}{M_\mu^2 - \left(\left(\frac{\sqrt{s}}{2} - k^0 \right)^2 - (k^1)^2 - (k^2)^2 - (P - k^3)^2 \right) - i\varepsilon} \\
&\frac{1}{M_\mu^2 - \left(\left(\frac{\sqrt{s}}{2} + k^0 \right)^2 - (k^1)^2 - (k^2)^2 - (-P + k^3)^2 \right) - i\varepsilon} \\
&\frac{1}{M_G^2 - (k^0)^2 + (k^1)^2 + (k^2)^2 + (k^3)^2 - i\varepsilon} \\
&\frac{1}{M_G^2 - (k^0)^2 + (-P \sin(\theta) - k^1)^2 + (k^2)^2 + (P(1 - \cos(\theta)) - k^3)^2 - i\varepsilon}
\end{aligned} \tag{27}$$

Після перетворень з урахуванням співвідношення $P^2 = s/4 - M_\mu^2$ інтеграл можна переписати в виді:

$$\begin{aligned}
A_1 &= G^4 \int_{-\infty}^{+\infty} dk_0 \int_{-\infty}^{+\infty} dk_1 \int_{-\infty}^{+\infty} dk_2 \int_{-\infty}^{+\infty} dk_3 \times \\
&\frac{1}{+\sqrt{s}k^0 - (k^0)^2 + (k^1)^2 + (k^2)^2 - 2Pk^3 + (k^3)^2 - i\varepsilon} \times \\
&\frac{1}{-\sqrt{s}k^0 - (k^0)^2 + (k^1)^2 + (k^2)^2 - 2Pk^3 + (k^3)^2 - i\varepsilon} \times \\
&\frac{1}{M_G^2 - (k^0)^2 + (k^1)^2 + (k^2)^2 + (k^3)^2 - i\varepsilon} \times \\
&\frac{1}{M_G^2 - (k^0)^2 + (-P \sin(\theta) - k^1)^2 + (k^2)^2 + (P(1 - \cos(\theta)) - k^3)^2 - i\varepsilon}.
\end{aligned} \tag{28}$$

Далі зручно перейти в інтегралі до сферичних координат q, θ_1, φ , які введемо у звичайний спосіб:

$$q_3 = q \cos(\theta_1), q_2 = q \sin(\theta_1) \sin(\varphi), q_1 = q \sin(\theta_1) \cos(\varphi) \quad (29)$$

Після заміни (29) інтеграл (28) приймає вид:

$$\begin{aligned} A_1 = & G^4 \int_{-\infty}^{+\infty} dk_0 \int_0^{+\infty} q^2 dq \int_0^\pi \sin(\theta_1) d\theta_1 \int_0^{2\pi} d\varphi \times \\ & \times \frac{1}{+\sqrt{sk^0 - (k^0)^2 + q^2 - P^2 - i\varepsilon} - \sqrt{sk^0 - (k^0)^2 + q^2 - P^2 - i\varepsilon}} \times \\ & \times \frac{1}{M_G^2 - (k^0)^2 + q^2 + 2Pq \cos(\theta_1) + P^2 - i\varepsilon} \times \\ & \times \frac{1}{M_G^2 - (k^0)^2 + P^2 + q^2 + 2P \sin(\theta) q \sin(\theta_1) \cos(\varphi) + 2P \cos(\theta) q \cos(\theta_1) - i\varepsilon} \end{aligned} \quad (30)$$

Сенс переходу до сферичних координат полягає в тому що підмножина 1 тепер описується дуже простими рівняннями:

$$\begin{cases} k^0 = 0, \\ q = P. \end{cases} \quad (31)$$

Отже, кожна точка області інтегрування визначається чотирма координатами

$$\begin{pmatrix} k^0 \\ q \\ \theta_1 \\ \varphi \end{pmatrix}$$

Якщо взяти довільну точку, що належить підмножині 1, то координати k^0 і q визначаються системою (31). Координати θ_1 і φ можуть бути довільними в звичайних інтервалах для сферичних змінних. Отже змінюючи θ_1 і φ ми будемо зсуватися з обраної точки уздовж підмножини 1, а змінюючи k^0 і q ми будемо зміщуватися із відповідної поверхні в області інтегрування в (30). Отже уздовж поверхні (31) підінтегральний вираз має максимум величиною $1/\varepsilon^2$. При цьому «ширина максимуму» визначається залежністю підінтегрального виразу від змінних k^0 і q . Як обговорювалося раніше у вступі, ця «ширина максимуму» є по ε для кожної з цих змінних. Це буде далі підтверджено більш докладними міркуваннями. Але перед тим буде зручно відділити внесок підмножини 1 від внеску підмножини 2, бо інтеграл (30) містить внески обох підмножин.

Для відділення внеску однієї підмножини від внеску іншої, розглянемо процедуру, яка проілюстрована на рис.2, рис.3, рис.4.

Припустимо ε ще не наближено до нуля, але є малим. Припустимо, що ми маємо функцію як на рис.2 з двома максимумами. Відстань між максимумами не є нульовою (в нашому випадку це так внаслідок доведеного у попередньому розділі неперекриття поверхонь, що відповідають підмножинам 1 і 2). При цьому ця відстань не зменшується із зменшенням ε (неперекриття має місце за довільного значення ε). Тому якщо ми візьмемо за характерний масштаб ε , то відстань між максимумами буде великою. Тоді можна обрати таке достатньо велике додатне число h , що на кінцях проміжку $[x_0 - h\varepsilon, x_0 + h\varepsilon]$ (рис.2) функція встигає

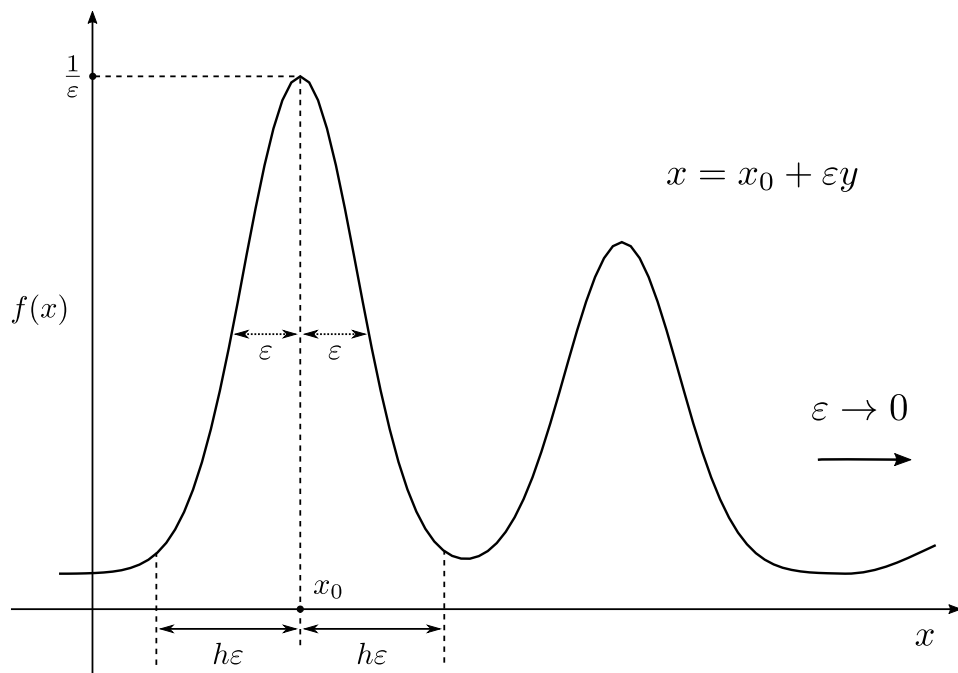


Рис. 2: Схематична ілюстрація вихідної ситуації для розділення внесків підмножин 1 і 2

суттєво зменшитися у порівнянні з її значенням в точці максимуму. Тоді внеском цього максимуму в інтеграл від функції, будемо вважати інтеграл по проміжку $[x_0 - h\epsilon, x_0 + h\epsilon]$. Тобто

$$\int_{-\infty}^{+\infty} f(x)dx \approx \left(\int_{-\infty}^{+\infty} f(x)dx \right)^{1 \max} + \left(\int_{-\infty}^{+\infty} f(x)dx \right)^{2 \max} \quad (32)$$

Тут $\left(\int_{-\infty}^{+\infty} f(x)dx \right)^{1 \max}$ і $\left(\int_{-\infty}^{+\infty} f(x)dx \right)^{2 \max}$ ми позначили внески відповідно першого і другого максимуму. Тоді, виходячи з сказаного:

$$\left(\int_{-\infty}^{+\infty} f(x)dx \right)^{1 \max} \approx \int_{x_0 - h\epsilon}^{x_0 + h\epsilon} f(x)dx \quad (33)$$

Якщо тепер зробити заміну $x = x_0 + \epsilon y$, то міра інтегрування міститиме множник ϵ в чисельнику, в той час як максимальне значення підінтегральної функції міститиме аналогічний множник в знаменнику (рис.2). Після того як ці множники скоротяться можемо перейти до границі $\epsilon \rightarrow +0$. Тоді як показано на (рис.2) при переході до границі $\epsilon \rightarrow +0$ другий максимум зсувається на нескінченність, і в нас залишається інтеграл лише від першого максимуму в проміжку $[-h, h]$ (рис.3)

Тепер ми можемо, знову ж таки в дусі методу Лапласа, наблизити h до нескінченності (рис.4), аналітично продовжуючи підінтегральну функцію на всю числову пряму, бо основний внесок в інтеграл буде вносити достатньо малий окіл точки максимуму. Граничний перехід $h \rightarrow +\infty$ позбавляє нас необхідності задавати конкретне значення h .

Застосуємо тепер описану процедуру до інтегралу (30). Отже замість інтегралу (30), роз-

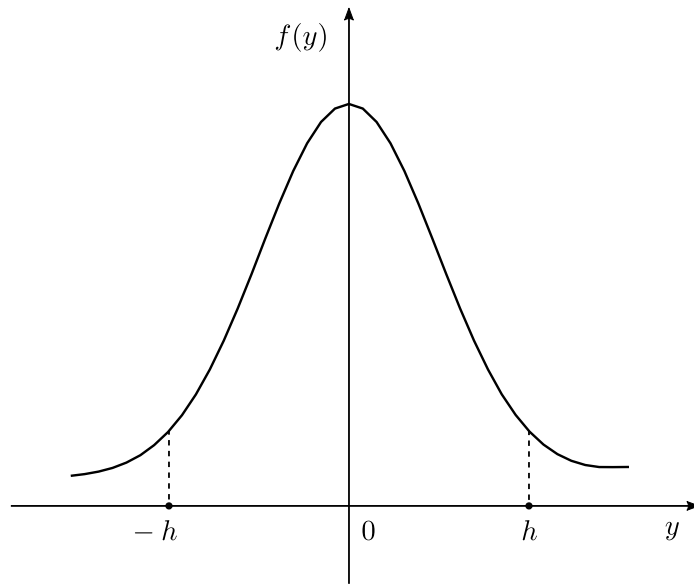


Рис. 3: Внесок множини 1 після заміни змінних

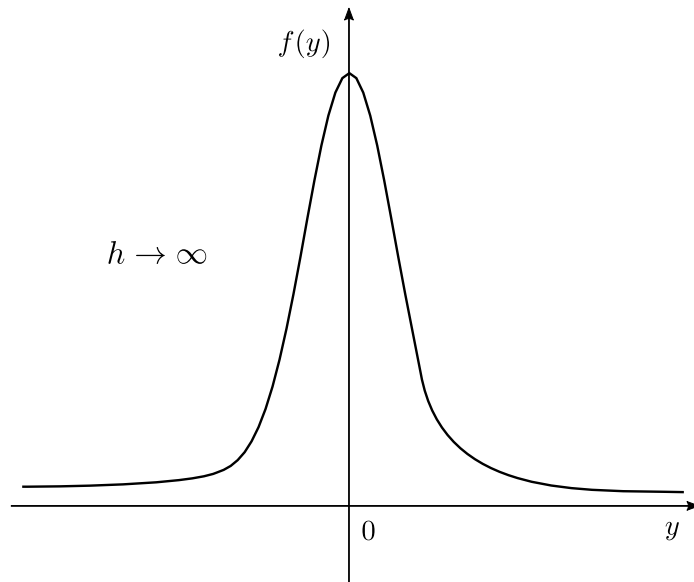


Рис. 4: Внесок множини 1 після граничного переходу $h \rightarrow \infty$

глянемо інтеграл по деякому околу підмножини 1, що визначається формулами (31).

$$\begin{aligned}
A_1^{\{1\}} &= G^4 \int_{-h\varepsilon}^{h\varepsilon} dk_0 \int_{P-l\varepsilon}^{P+l\varepsilon} q^2 dq \int_0^\pi \sin(\theta_1) d\theta_1 \int_0^{2\pi} d\phi \times \\
&\times \frac{1}{+\sqrt{s}k^0 - (k^0)^2 + (q-P)(q+P) - i\varepsilon} \frac{1}{-\sqrt{s}k^0 - (k^0)^2 + (q-P)(q+P) - i\varepsilon} \times \\
&\times \frac{1}{M_G^2 - (k^0)^2 + q^2 + 2Pq \cos(\theta_1) + P^2 - i\varepsilon} \times \\
&\times \frac{1}{M_G^2 - (k^0)^2 + P^2 + q^2 + 2P \sin(\theta) q \sin(\theta_1) \cos(\phi) + 2P \cos(\theta) q \cos(\theta_1) - i\varepsilon}.
\end{aligned} \tag{34}$$

Тут позначення $A_1^{\{1\}}$ виражає той факт, що ми від всього інтегралу перейшли до інтегрування по деякому околу підмножини 1. Додатні числа h і l визначають ширину цього околу і далі будуть наближені до нескінченості у відповідності із описаною раніше процедурою.

Перейдемо тепер від змінних k^0, q до нових змінних інтегрування E, x за формулами

$$k_0 = \varepsilon E, q = P + \varepsilon x. \tag{35}$$

Тоді замість (34) отримаємо

$$\begin{aligned}
A_1^{\{1\}} &= G^4 \int_{-h}^h \varepsilon dE \int_{-l}^l (P + \varepsilon x)^2 \varepsilon dx \int_0^\pi \sin(\theta_1) d\theta_1 \int_0^{2\pi} d\phi \times \\
&\times \frac{1}{\sqrt{s}\varepsilon E - (\varepsilon E)^2 + \varepsilon x(P + \varepsilon x + P) - i\varepsilon} \times \\
&\times \frac{1}{-\sqrt{s}\varepsilon E - (\varepsilon E)^2 + \varepsilon x(P + \varepsilon x + P) - i\varepsilon} \times \\
&\times \frac{1}{M_G^2 - (\varepsilon E)^2 + (P + \varepsilon x)^2 + 2P(P + \varepsilon x) \cos(\theta_1) + P^2 - i\varepsilon} \times \\
&\times (M_G^2 - (\varepsilon E)^2 + P^2 + (P + \varepsilon x)^2 + 2P \sin(\theta) (P + \varepsilon x) \sin(\theta_1) \cos(\phi) + \\
&+ 2P(P + \varepsilon x) \cos(\theta) \cos(\theta_1) - i\varepsilon)^{-1}
\end{aligned} \tag{36}$$

Перші два множники підінтегрального виразу містять в знаменниках по одному спільному множнику ε . Після їх винесення за дужки, вони можуть бути скорочені з двома множниками які виникли за рахунок перетворення dk^0 і dq . Після цього можемо переходити до границі $\varepsilon \rightarrow +0$ і отримаємо

$$\begin{aligned}
A_1^{\{1\}} &= G^4 P^2 \int_{-h}^h dE \int_{-l}^l dx \frac{1}{(+\sqrt{s}E + 2Px - i)} \frac{1}{(-\sqrt{s}E + 2Px - i)} \times \\
&\times \int_0^\pi \sin(\theta_1) d\theta_1 \frac{1}{M_G^2 + 2P^2(1 + \cos(\theta_1))} \times \\
&\times \int_0^{2\pi} d\phi \frac{1}{M_G^2 + 2P^2(1 + \sin(\theta) \sin(\theta_1) \cos(\phi) + \cos(\theta) \cos(\theta_1))}.
\end{aligned} \tag{37}$$

Як бачимо, після переходу до границі $\varepsilon \rightarrow +0$ маємо суттєве спрощення підінтегрального виразу яке дозволяє відділити інтегрування по E і по x від інтегрувань по решті змінних. Цей інтеграл зручно переписати в виді:

$$\begin{aligned} & \int_{-\infty}^{+\infty} dE \int_{-\infty}^{+\infty} dx \frac{1}{(+\sqrt{s}E + 2Px - i)} \frac{1}{(-\sqrt{s}E + 2Px - i)} = \\ & = -\frac{1}{s} \int_{-\infty}^{+\infty} dx \int_{-\infty}^{+\infty} dE \frac{1}{\left(E - \left(-\frac{2P}{\sqrt{s}}x + \frac{i}{\sqrt{s}}\right)\right)} \frac{1}{\left(E - \left(\frac{2}{\sqrt{s}}Px - \frac{i}{\sqrt{s}}\right)\right)}. \end{aligned} \quad (38)$$

Після цього інтеграл по E можна доповнити інтегралом по півколу в верхній, або нижній півплощині комплексної площини E і до отриманого таким чином інтегралу по замкненому контуру застосувати теорему про лишки. Це призводить до наступного результату:

$$\begin{aligned} & \int_{-\infty}^{+\infty} dE \int_{-\infty}^{+\infty} dx \frac{1}{(+\sqrt{s}E + 2Px - i)} \frac{1}{(-\sqrt{s}E + 2Px - i)} = \\ & = -\frac{\pi i}{s} \int_{-\infty}^{+\infty} dx \frac{1}{-\frac{2P}{\sqrt{s}}x + \frac{i}{\sqrt{s}}} \end{aligned} \quad (39)$$

Подальше інтегрування не викликає проблем і призводить до результату

$$\begin{aligned} & \int_{-\infty}^{+\infty} dE \int_{-\infty}^{+\infty} dx \frac{1}{(+\sqrt{s}E + 2Px - i)} \frac{1}{(-\sqrt{s}E + 2Px - i)} = \\ & = \frac{\pi i}{2P\sqrt{s}} \ln \left(\frac{+\infty - \frac{i}{2P}}{-\infty - \frac{i}{2P}} \right) = -\frac{\pi^2}{2P\sqrt{s}}. \end{aligned} \quad (40)$$

В результаті маємо наступний вираз для внеску підмножини 1

$$\begin{aligned} A_1^{\{1\}} & = -G^4 \frac{\pi^2 P}{2\sqrt{s}} \int_0^\pi d\theta_1 \frac{\sin(\theta_1)}{M_G^2 + 2P^2(1 + \cos(\theta_1))} \times \\ & \times \int_0^{2\pi} d\phi \frac{1}{M_G^2 + 2P^2(1 + \sin(\theta) \sin(\theta_1) \cos(\phi) + \cos(\theta) \cos(\theta_1))}. \end{aligned} \quad (41)$$

Далі зручно ввести заміну

$$\cos(\theta_1) = z, \quad (42)$$

після якої отримаємо:

$$\begin{aligned} A_1^{\max} & = -G^4 \frac{\pi^2 P}{2\sqrt{s}} \int_{-1}^1 dz \frac{1}{M_G^2 + 2P^2(1 + z)} \times \\ & \times \int_0^{2\pi} d\phi \frac{1}{M_G^2 + 2P^2(1 + \sin(\theta) \sqrt{1 - z^2} \cos(\phi) + \cos(\theta) z)}. \end{aligned} \quad (43)$$

Інтеграл по ϕ може бути перетворений наступним чином:

$$\begin{aligned} & \int_0^{2\pi} d\phi \frac{1}{M_G^2 + 2P^2 (1 + \sin(\theta) \sqrt{1-z^2} \cos(\phi) + \cos(\theta) z)} = \\ & = \int_{-\pi}^{\pi} d\phi \frac{1}{M_G^2 + 2P^2 (1 + \sin(\theta) \sqrt{1-z^2} \cos(\phi) + \cos(\theta) z)}. \end{aligned} \quad (44)$$

Далі, після заміни змінної $\text{tg}(\phi/2) = x$

$$\begin{aligned} & \int_{-\pi}^{\pi} d\phi \frac{1}{M_G^2 + 2P^2 (1 + \sin(\theta) \sqrt{1-z^2} \cos(\phi) + \cos(\theta) z)} = \\ & = \frac{-8\pi}{(M_G^2 + 2P^2 (1 + \cos(\theta) z - \sin(\theta) \sqrt{1-z^2}))} \times \\ & \times \sqrt{\frac{M_G^2 + 2P^2 (1 + \cos(\theta) z + \sin(\theta) \sqrt{1-z^2})}{(M_G^2 + 2P^2 (1 + \cos(\theta) z - \sin(\theta) \sqrt{1-z^2}))}} \end{aligned} \quad (45)$$

В результаті розрахунків внеску підмножини 1 звівся до одновимірного інтегралу в скінчених границях

$$\begin{aligned} A_1^{\{1\}} &= G^4 \frac{4\pi^3 P}{\sqrt{s}} \int_{-1}^1 dz \frac{1}{M_G^2 + 2P^2 (1+z)} \times \\ & \times \frac{\sqrt{M_G^2 + 2P^2 (1 + \cos(\theta) z + \sin(\theta) \sqrt{1-z^2})}}{(M_G^2 + 2P^2 (1 + \cos(\theta) z - \sin(\theta) \sqrt{1-z^2}))^{3/2}}. \end{aligned} \quad (46)$$

Цей інтеграл вже може бути розраховано, наприклад, методом трапецій.

4 Розрахунок внеску підмножини 2 в інтеграл для діаграми рис.1

Для врахування внеску підмножини 2, як вже зазначалося, зручно виходити з виразу (24). Підінтегральний вираз в інтегралі (24) є парною функцією від q^0 . Тому:

$$\begin{aligned} A_1 &= 2G^4 \int_0^{+\infty} dq^0 \int_{-\infty}^{+\infty} dq^1 \int_{-\infty}^{+\infty} dq^2 \int_{-\infty}^{+\infty} dq^3 \times \\ & \times \frac{1}{\sqrt{s} q^0 - (q^0)^2 + (q^1)^2 + (q^2)^2 + (q^3)^2 - |t|/4 - 2q^1 \sqrt{P^2 - |t|/4} - i\varepsilon} \times \\ & \times \frac{1}{-\sqrt{s} q^0 - (q^0)^2 + (q^1)^2 + (q^2)^2 + (q^3)^2 - |t|/4 - 2q^1 \sqrt{P^2 - |t|/4} - i\varepsilon} \times \\ & \times \frac{1}{M_G^2 - (q^0)^2 + (q^1)^2 + (q^2)^2 + (q^3)^2 + |t|/4 + \sqrt{|t|} q^3 - i\varepsilon} \times \\ & \times \frac{1}{M_G^2 - (q^0)^2 + (q^1)^2 + (q^2)^2 + (q^3)^2 + |t|/4 - \sqrt{|t|} q^3 - i\varepsilon}. \end{aligned} \quad (47)$$

Знов, як і в попередньому розділі введемо сферичні координати (29) з наступною заміною (42). Після таких перетворень, матимемо:

$$\begin{aligned}
A_1 &= 2G^4 \int_0^{+\infty} dq^0 \int_0^{+\infty} q^2 dq \int_{-1}^1 dz \int_0^{2\pi} d\phi \times \\
&\times \frac{1}{\sqrt{s}q^0 - (q^0)^2 + (q)^2 - |t|/4 - 2q\sqrt{1-z^2}\cos(\phi)\sqrt{P^2 - |t|/4} - i\varepsilon} \times \\
&\times \frac{1}{-\sqrt{s}q^0 - (q^0)^2 + (q)^2 - |t|/4 - 2q\sqrt{1-z^2}\cos(\phi)\sqrt{P^2 - |t|/4} - i\varepsilon} \times \\
&\times \frac{1}{M_G^2 + |t|/4 + (q)^2 - (q^0)^2 + \sqrt{|t|}qz - i\varepsilon} \times \\
&\times \frac{1}{M_G^2 + |t|/4 + (q)^2 - (q^0)^2 - \sqrt{|t|}qz - i\varepsilon}.
\end{aligned} \tag{48}$$

Підмножина 2 у введених змінних задається системою рівнянь

$$\begin{cases} z = 0 \left(\sqrt{|t|} \neq 0 \right), \\ q^0 = \sqrt{M_G^2 + \frac{|t|}{4} + (q)^2}. \end{cases} \tag{49}$$

Внесок околу підмножини 2 в інтеграл (48) (позначатимемо його далі $A_1^{\{2\}}$) можемо записати в виді:

$$A_1^{\{2\}} = 2G^4 \int_{\sqrt{M_G^2 + \frac{|t|}{4} + (q)^2 - h\varepsilon}}^{\sqrt{M_G^2 + \frac{|t|}{4} + (q)^2 + h\varepsilon}} dq^0 \int_0^{+\infty} q^2 dq \int_{-l\varepsilon}^{l\varepsilon} dz \int_0^{2\pi} d\phi f(q^0, q, z, \phi) g(q^0, q, z, \phi). \tag{50}$$

Тут введено позначення

$$\begin{aligned}
f(q^0, q, z, \phi) &\equiv \frac{1}{\sqrt{s}q^0 - (q^0)^2 + (q)^2 - |t|/4 - 2q\sqrt{1-z^2}\cos(\phi)\sqrt{P^2 - |t|/4} - i\varepsilon} \times \\
&\times \frac{1}{-\sqrt{s}q^0 - (q^0)^2 + (q)^2 - |t|/4 - 2q\sqrt{1-z^2}\cos(\phi)\sqrt{P^2 - |t|/4} - i\varepsilon}, \\
g(q^0, q, z, \phi) &= \frac{1}{M_G^2 + |t|/4 + (q)^2 - (q^0)^2 + \sqrt{|t|}qz - i\varepsilon} \times \\
&\times \frac{1}{M_G^2 + |t|/4 + (q)^2 - (q^0)^2 - \sqrt{|t|}qz - i\varepsilon}.
\end{aligned} \tag{51}$$

Інтеграл (50) перепишемо в виді:

$$\begin{aligned}
A_1^{\{2\}} &= 2G^4 \int_{\sqrt{M_G^2 + \frac{|t|}{4} + (q)^2 - h\varepsilon}}^{\sqrt{M_G^2 + \frac{|t|}{4} + (q)^2 + h\varepsilon}} dq^0 \int_0^{+\infty} q^2 dq \int_{-l\varepsilon}^{l\varepsilon} dz \int_0^{2\pi} d\phi \times \\
&\times \left(f(q^0, q, z, \phi) - f\left(q^0 = \sqrt{M_G^2 + \frac{|t|}{4} + (q)^2}, q, z = 0, \phi\right) \right) g(q^0, q, z, \phi) + \\
&+ 2G^4 \int_0^{+\infty} q^2 dq \int_0^{2\pi} d\phi \int_{\sqrt{M_G^2 + \frac{|t|}{4} + (q)^2 - h\varepsilon}}^{\sqrt{M_G^2 + \frac{|t|}{4} + (q)^2 + h\varepsilon}} dq^0 \int_{-l\varepsilon}^{l\varepsilon} dz \times \\
&\times f\left(q^0 = \sqrt{M_G^2 + \frac{|t|}{4} + (q)^2}, q, z = 0, \phi\right) g(q^0, q, z, \phi).
\end{aligned} \tag{52}$$

Тобто ми додали і відняли від множника f його значення на підмножині 2. Далі, зробимо заміну

$$q^0 = \sqrt{M_G^2 + \frac{|t|}{4} + (q)^2} + \varepsilon E, z = \varepsilon x. \tag{53}$$

Після заміни (53), замість (52) отримаємо

$$\begin{aligned}
A_1^{\{2\}} &= 2G^4 \int_0^{+\infty} q^2 dq \int_0^{2\pi} d\phi \int_{-h}^h \varepsilon dE \int_{-l}^l \varepsilon dx \times \\
&\times \left(f\left(q^0 = \sqrt{M_G^2 + \frac{|t|}{4} + (q)^2} + \varepsilon E, q, z = \varepsilon x, \phi\right) - f\left(q^0 = \sqrt{M_G^2 + \frac{|t|}{4} + (q)^2}, q, z = 0, \phi\right) \right) \times \\
&\times g\left(q^0 = \sqrt{M_G^2 + \frac{|t|}{4} + (q)^2} + \varepsilon E, q, z = \varepsilon x, \phi\right) + \\
&+ 2G^4 \int_0^{+\infty} q^2 dq \int_0^{2\pi} d\phi \int_{-h}^h \varepsilon dE \int_{-l}^l \varepsilon dx \times \\
&\times f\left(q^0 = \sqrt{M_G^2 + \frac{|t|}{4} + (q)^2}, q, z = 0, \phi\right) g\left(q^0 = \sqrt{M_G^2 + \frac{|t|}{4} + (q)^2} + \varepsilon E, q, z = \varepsilon x, \phi\right).
\end{aligned} \tag{54}$$

Врахуємо, що на підмножині 2

$$\begin{aligned}
&g\left(q^0 = \sqrt{M_G^2 + \frac{|t|}{4} + (q)^2} + \varepsilon E, q, z = \varepsilon x, \phi\right) = \\
&= \frac{1}{\varepsilon^2} g_0\left(q^0 = \sqrt{M_G^2 + \frac{|t|}{4} + (q)^2} + \varepsilon E, q, z = \varepsilon x, \phi\right).
\end{aligned} \tag{55}$$

При цьому, функція g_0 має скінчену границю при $\varepsilon \rightarrow +0$.

Розкладаючи в ряд Тейлора різницю у першому доданку формули (54) матимемо:

$$\begin{aligned}
A_1^{\{2\}} &= 2G^4 \int_0^{+\infty} q^2 dq \int_0^{2\pi} d\phi \int_{-h}^h dE \int_{-l}^l dx \times \\
&\times \left(\frac{\partial f}{\partial q^0} \left(q^0 = \sqrt{M_G^2 + \frac{|t|}{4} + (q)^2}, q, z = 0, \phi \right) \varepsilon E + \right. \\
&+ \frac{\partial f}{\partial z} \left(q^0 = \sqrt{M_G^2 + \frac{|t|}{4} + (q)^2}, q, z = 0, \phi \right) \varepsilon x + () \varepsilon^2 + () \varepsilon^3 + \dots \left. \right) \times \\
&\times g_0 \left(q^0 = \sqrt{M_G^2 + \frac{|t|}{4} + (q)^2} + \varepsilon E, q, z = \varepsilon x, \phi \right) + \\
&+ 2G^4 \int_0^{+\infty} q^2 dq \int_0^{2\pi} d\phi \int_{-h}^h dE \int_{-l}^l dx \times \\
&\times f \left(q^0 = \sqrt{M_G^2 + \frac{|t|}{4} + (q)^2}, q, z = 0, \phi \right) g_0 \left(q^0 = \sqrt{M_G^2 + \frac{|t|}{4} + (q)^2} + \varepsilon E, q, z = \varepsilon x, \phi \right).
\end{aligned} \tag{56}$$

Граничний перехід $\varepsilon \rightarrow +0$ дозволяє суттєво спростити вираз (56). Цей вираз приймає вид:

$$\begin{aligned}
A_1^{\{2\}} &= -G^4 2 \int_0^{+\infty} q^2 dq \int_0^{2\pi} d\phi \int_{-h}^h E \int_{-l}^l dx \times \\
&\times \frac{1}{s \left(M_G^2 + \frac{|t|}{4} + (q)^2 \right) - \left(M_G^2 + \frac{|t|}{2} + 2q \cos(\phi) \sqrt{P^2 - \frac{|t|}{4}} \right)^2} \times \\
&\times \frac{1}{2\sqrt{M_G^2 + \frac{|t|}{4} + (q)^2} E - \sqrt{|t|} q x + i} \times \\
&\times \frac{1}{2\sqrt{M_G^2 + \frac{|t|}{4} + (q)^2} E + \sqrt{|t|} q x + i}.
\end{aligned} \tag{57}$$

Виконуючи інтегрування по E , отримаємо:

$$\begin{aligned}
A_1^{\{2\}} &= 2G^4 \int_0^{+\infty} q^2 dq \int_0^{2\pi} d\phi \int_{-l}^l dx \frac{1}{s \left(M_G^2 + \frac{|t|}{4} + (q)^2 \right) - \left(M_G^2 + \frac{|t|}{2} + 2q \cos(\phi) \sqrt{P^2 - \frac{|t|}{4}} \right)^2} \times \\
&\times \frac{1}{2\sqrt{|t|} q x 2\sqrt{M_G^2 + \frac{|t|}{4} + (q)^2}} \left(\ln \left(\frac{h + \frac{i - \sqrt{|t|} q x}{2\sqrt{M_G^2 + \frac{|t|}{4} + (q)^2}}}{h + \frac{i + \sqrt{|t|} q x}{2\sqrt{M_G^2 + \frac{|t|}{4} + (q)^2}} \right) - \ln \left(\frac{-h + \frac{i - \sqrt{|t|} q x}{2\sqrt{M_G^2 + \frac{|t|}{4} + (q)^2}}}{-h + \frac{i + \sqrt{|t|} q x}{2\sqrt{M_G^2 + \frac{|t|}{4} + (q)^2}} \right) \right).
\end{aligned} \tag{58}$$

Далі ми збираємось h наблизити до нескінченості. Будемо перед цим вважати h великою додатною величиною. Тоді:

$$\begin{aligned} & \ln \left(\frac{1 + \frac{i - \sqrt{|t|qx}}{2h\sqrt{M_G^2 + \frac{|t|}{4} + (q)^2}}}{1 + \frac{i + \sqrt{|t|qx}}{2h\sqrt{M_G^2 + \frac{|t|}{4} + (q)^2}}} \right) - \ln \left(\frac{1 - \frac{i - \sqrt{|t|qx}}{2h\sqrt{M_G^2 + \frac{|t|}{4} + (q)^2}}}{1 - \frac{i + \sqrt{|t|qx}}{2h\sqrt{M_G^2 + \frac{|t|}{4} + (q)^2}}} \right) = \\ & = -\frac{2\sqrt{|t|qx}}{h\sqrt{M_G^2 + \frac{|t|}{4} + (q)^2}} \end{aligned} \quad (59)$$

З урахуванням цього результату легко виконати в (58) інтегрування по x . Його результат має вид

$$\begin{aligned} A_1^{\{2\}} &= -2G^4 \frac{l}{h} \int_0^{+\infty} q^2 dq \frac{1}{\left(M_G^2 + \frac{|t|}{4} + (q)^2\right)} \times \\ &\times \int_0^{2\pi} d\phi \frac{1}{s \left(M_G^2 + \frac{|t|}{4} + (q)^2\right) - \left(M_G^2 + \frac{|t|}{2} + 2q \cos(\phi) \sqrt{P^2 - \frac{|t|}{4}}\right)^2}. \end{aligned} \quad (60)$$

Для того, щоб позбавитись залежності від l і h покладемо

$$l = h \rightarrow +\infty. \quad (61)$$

Для подальшого розрахунку зручно ввести позначення

$$M_G^2 + \frac{|t|}{4} \equiv m^2(t), \quad (62)$$

а також замість змінної інтегрування q ввести нову змінну інтегрування y :

$$q = m(t) \operatorname{sh}(y) \quad (63)$$

Після цих перетворень отримаємо

$$\begin{aligned} A_1^{\{2\}} &= -2 \frac{G^4}{m(t)} \int_0^{2\pi} d\phi \times \\ &\times \int_0^{+\infty} dy \frac{\operatorname{sh}^2(y)}{\operatorname{ch}(y)} \frac{1}{\left(\operatorname{sch}^2(y) - \left(m(t) + |t|/4m(t) + 2 \operatorname{sh}(y) \cos(\phi) \sqrt{P^2 - |t|/4}\right)^2\right)}. \end{aligned} \quad (64)$$

Щоб перейти до інтегрування в скінчених границях, яке було б зручно виконати чисельно зробимо заміну:

$$\exp(-y) = u. \quad (65)$$

Після цієї заміни отримаємо вираз:

$$\begin{aligned}
A_1^{\{2\}} &= -4 \frac{G^4}{m(t)} \int_0^{2\pi} d\phi \int_0^1 du \frac{(1-u^2)^2}{(1+u^2)} \times \\
&\times \frac{1}{\left(\sqrt{s}(1+u^2) - (1-u^2) \cos(\phi) \sqrt{s-|t|-4M_\mu^2} - 2m(t)u(1+|t|/4m^2(t)) \right)} \times \\
&\times \frac{1}{\left(\sqrt{s}(1+u^2) + (1-u^2) \cos(\phi) \sqrt{s-|t|-4M_\mu^2} + 2m(t)u(1+|t|/4m^2(t)) \right)}. \tag{66}
\end{aligned}$$

Отже, інтеграл по u розраховується в скінчених границях і підінтегральний вираз не має особливостей на проміжку інтегрування. Розглянемо тепер інтегрування по ϕ . Для цього переписемо інтеграл в виді:

$$\begin{aligned}
A_1^{\{2\}} &= \frac{4G^4}{m(t)} \int_0^1 du \frac{(1-u^2)^2}{(1+u^2)} \frac{1}{\left((1-u^2) \sqrt{s-|t|-4M_\mu^2} \right)^2} \times \\
&\times \int_0^{2\pi} d\phi \frac{1}{(\cos(\phi) - z_1)} \frac{1}{(\cos(\phi) - z_2)}, \tag{67}
\end{aligned}$$

де

$$\begin{aligned}
z_1 &= \frac{\sqrt{s}(1+u^2) - 2m(t)u \left(1 + \frac{|t|}{4m^2(t)} \right)}{(1-u^2) \sqrt{s-|t|-4M_\mu^2}}, \\
z_2 &= -\frac{\sqrt{s}(1+u^2) + 2m(t)u \left(1 + \frac{|t|}{4m^2(t)} \right)}{(1-u^2) \sqrt{s-|t|-4M_\mu^2}}. \tag{68}
\end{aligned}$$

Покажемо, що величина z_1 є більшою за 1, а z_2 є меншою за (-1) і таким чином знаменники в інтегралі (67) не дорівнюють нулю всюди на проміжку інтегрування. Розглянемо різницю

$$\begin{aligned}
z_1 - 1 &= \frac{1}{(1-u^2) \sqrt{s-|t|-4M_\mu^2}} \left(\sqrt{s} \left(u - \frac{m(t)}{\sqrt{s}} \left(1 + \frac{|t|}{4m^2(t)} \right) \right) \right)^2 + \\
&+ u^2 \sqrt{s-|t|-4M_\mu^2} + \sqrt{s} \left(1 - \frac{m^2(t)}{s} \left(1 + \frac{|t|}{4m^2(t)} \right)^2 \right) - \sqrt{s-|t|-4M_\mu^2}. \tag{69}
\end{aligned}$$

Збираючи коефіцієнти при ступенях змінної u , чисельник цього виразу може бути переписа-

ний в виді:

$$\begin{aligned}
& \sqrt{s} \left(u - \frac{m(t)}{\sqrt{s}} \left(1 + \frac{|t|}{4m^2(t)} \right) \right)^2 + u^2 \sqrt{s - |t| - 4M_\mu^2} + \\
& + \sqrt{s} \left(1 - \frac{m^2(t)}{s} \left(1 + \frac{|t|}{4m^2(t)} \right)^2 \right) - \sqrt{s - |t| - 4M_\mu^2} = \\
& = \left(\sqrt{s} + \sqrt{s - |t| - 4M_\mu^2} \right) u^2 - 2um(t) \left(1 + \frac{|t|}{4m^2(t)} \right) + \\
& + \sqrt{s} - \sqrt{s - |t| - 4M_\mu^2}.
\end{aligned} \tag{70}$$

Дискриминант цього квадратичного по u виразу дорівнює

$$D = 4 \left(\left(M_G^2 + \frac{|t|}{4} \right) \left(1 + \frac{\frac{|t|}{4}}{M_G^2 + \frac{|t|}{4}} \right)^2 - (|t| + 4M_\mu^2) \right). \tag{71}$$

Цей дискриминант може бути оцінений наступним чином:

$$D < 4 \left(\left(M_G^2 + \frac{|t|}{4} \right) 2^2 - (|t| + 4M_\mu^2) \right) = 16 (M_G^2 - M_\mu^2). \tag{72}$$

Приймаючи що $M_G < M_\mu$ дістаємо висновок що дискриминант є від'ємний і чисельник виразу (69) не має нулів на дійсній вісі. Окрім того, як видно з (70) при $u = 0$ цей чисельник приймає значення $\sqrt{s} - \sqrt{s - |t| - 4M_\mu^2}$, яке є додатним числом. Звідси маємо, що для будь-якого u різниця $z_1 - 1$ є додатною і $z_1 > 1$.

Розглянемо тепер різницю

$$\begin{aligned}
& z_2 - (-1) = \\
& = -\sqrt{s} \frac{\left(u + \frac{m(t)}{\sqrt{s}} \left(1 + \frac{|t|}{4m^2(t)} \right) \right)^2 + 1 - \frac{m^2(t)}{s} \left(1 + \frac{|t|}{4m^2(t)} \right)^2}{(1 - u^2) \sqrt{s - |t| - 4M_\mu^2}} + 1
\end{aligned} \tag{73}$$

Цей вираз може бути перетворений таким чином:

$$\begin{aligned}
& z_2 - (-1) = \\
& = -\frac{\left(\sqrt{s} + \sqrt{s - |t| - 4M_\mu^2} \right) u^2 + 2um(t) \left(1 + \frac{|t|}{4m^2(t)} \right) + \left(\sqrt{s} - \sqrt{s - |t| - 4M_\mu^2} \right)}{(1 - u^2) \sqrt{s - |t| - 4M_\mu^2}}.
\end{aligned} \tag{74}$$

Дискриминант чисельника цього виразу співпадає з (71) і, тому є також від'ємним. Оскільки при $u = 0$ вираз (74) приймає від'ємне значення, то й маємо що $z_2 < (-1)$. Отже в інтегралі (67) знаменник ніде в області інтегрування не дорівнює нулю.

Для подальшого розрахунку зручно ввести позначення

$$\begin{aligned}
c_1 &= \frac{\sqrt{s} (1 + u^2) - 2m(t) u \left(1 + \frac{|t|}{4m^2(t)} \right)}{\sqrt{s - |t| - 4M_\mu^2}}, \\
c_2 &= -\frac{\sqrt{s} (1 + u^2) + 2m(t) u \left(1 + \frac{|t|}{4m^2(t)} \right)}{\sqrt{s - |t| - 4M_\mu^2}}.
\end{aligned} \tag{75}$$

Тоді для (68) маємо вирази:

$$z_1 = \frac{c_1}{1-u^2}, z_2 = \frac{c_2}{1-u^2}. \quad (76)$$

Інтеграл по ϕ в (67) може бути записаний в виді

$$\begin{aligned} & \int_0^{2\pi} d\varphi \frac{1}{(\cos(\varphi) - z_1)} \frac{1}{(\cos(\varphi) - z_2)} = \\ & = \int_0^{2\pi} d\varphi \frac{1}{\left(\frac{\exp(i\varphi) + \exp(-i\varphi)}{2} - z_1\right)} \frac{1}{\left(\frac{\exp(i\varphi) + \exp(-i\varphi)}{2} - z_2\right)} \end{aligned} \quad (77)$$

Після перетворень цей вираз може бути переписаний таким чином:

$$\begin{aligned} & \int_0^{2\pi} d\varphi \frac{1}{(\cos(\varphi) - z_1)} \frac{1}{(+\cos(\varphi) - z_2)} = \\ & = -4i \int_0^{2\pi} i \exp(i\varphi) d\varphi \frac{1}{(\exp(i\varphi))^2 + 1 - 2z_1 \exp(i\varphi)} \frac{\exp(i\varphi)}{(\exp(i\varphi))^2 + 1 - 2z_2 \exp(i\varphi)} \end{aligned} \quad (78)$$

Заміною змінних $\exp(i\varphi) = z$ цей інтеграл може бути зведений до інтегралу по одиничному колу в комплексній площині, до якого може бути застосована теорема про лишки

$$\begin{aligned} & \int_0^{2\pi} d\varphi \frac{1}{(\cos(\varphi) - z_1)} \frac{1}{(\cos(\varphi) - z_2)} = \\ & = -4i \oint_{|z|=1} dz \frac{z}{(z^2 - 2z_1z + 1)(z^2 - 2z_2z + 1)}. \end{aligned} \quad (79)$$

Для того, щоб виділити полюси підінтегрального виразу перепишемо його в виді

$$\begin{aligned} & \int_0^{2\pi} d\varphi \frac{1}{(\cos(\varphi) - z_1)} \frac{1}{(\cos(\varphi) - z_2)} = \\ & = -4i \oint_{|z|=1} z dz \left(\frac{1}{z - (z_1 + \sqrt{z_1^2 - 1})} \frac{1}{z - (z_1 - \sqrt{z_1^2 - 1})} \times \right. \\ & \left. \times \frac{1}{z - (z_2 + \sqrt{z_2^2 - 1})} \frac{1}{z - (z_2 - \sqrt{z_2^2 - 1})} \right). \end{aligned} \quad (80)$$

З урахуванням співвідношень $z_1 > 1, z_2 < (-1)$, отримаємо розташування полюсів по відношенню до контуру інтегрування, схематично показане на рис.5.

При аналізі розташування полюсів ми скористалися співвідношеннями

$$z_1 - \sqrt{z_1^2 - 1} = \frac{1}{z_1 + \sqrt{z_1^2 - 1}}, z_2 + \sqrt{z_2^2 - 1} = \frac{1}{z_2 - \sqrt{z_2^2 - 1}}. \quad (81)$$

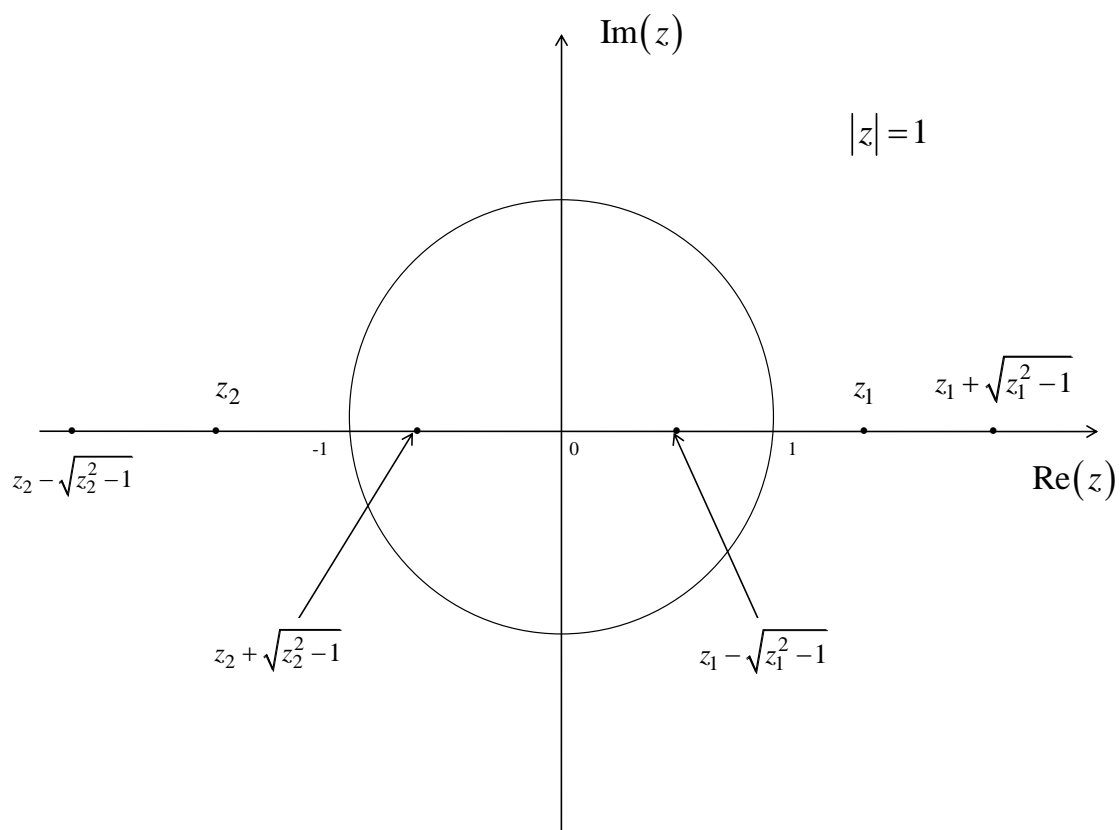


Рис. 5: Розташування полюсів підінтегрального виразу формули (80) з урахуванням виразу (81)

Оскільки знаменники в обох виразах за модулем більші за одиницю, відповідні полюси мають модулі менші за одиницю і, таким чином потрапляють всередину одиничного кола, тобто всередину контуру, по якому відбувається інтегрування. Застосування теореми про лишки призводить до результату

$$\begin{aligned}
& \int_0^{2\pi} d\varphi \frac{1}{(\cos(\varphi) - z_1)} \frac{1}{(+\cos(\varphi) - z_2)} = \\
& = 4\pi \left(\frac{z_2 + \sqrt{z_2^2 - 1}}{\sqrt{z_2^2 - 1} \left(z_2 + \sqrt{z_2^2 - 1} - \left(z_1 + \sqrt{z_1^2 - 1} \right) \right) \left(z_2 + \sqrt{z_2^2 - 1} - \left(z_1 - \sqrt{z_1^2 - 1} \right) \right)} \right. \\
& \quad \left. - \frac{z_1 - \sqrt{z_1^2 - 1}}{\sqrt{z_1^2 - 1} \left(\left(z_1 - \sqrt{z_1^2 - 1} \right) - \left(z_2 + \sqrt{z_2^2 - 1} \right) \right) \left(\left(z_1 - \sqrt{z_1^2 - 1} \right) - \left(z_2 - \sqrt{z_2^2 - 1} \right) \right)} \right). \quad (82)
\end{aligned}$$

Використовуючи введені раніше позначення (75), цей результат зручно переписати в виді

$$\begin{aligned}
& \int_0^{2\pi} d\varphi \frac{1}{(\cos(\varphi) - z_1)} \frac{1}{(+\cos(\varphi) - z_2)} = \\
& = 4\pi (1 - u^2)^2 \left(\frac{1}{\sqrt{(c_2)^2 - (1 - u^2)^2}} \frac{1}{\left(1 - \frac{c_2 - \sqrt{(c_2)^2 - (1 - u^2)^2}}{c_1 + \sqrt{(c_1)^2 - (1 - u^2)^2}} \right)} \times \right. \\
& \quad \times \frac{1}{\left(c_2 + \sqrt{(c_2)^2 - (1 - u^2)^2} - \left(c_1 + \sqrt{(c_1)^2 - (1 - u^2)^2} \right) \right)} - \\
& \quad - \frac{1}{\sqrt{(c_1)^2 - (1 - u^2)^2}} \frac{1}{1 - \frac{c_1 + \sqrt{(c_1)^2 - (1 - u^2)^2}}{c_2 - \sqrt{(c_2)^2 - (1 - u^2)^2}}} \times \\
& \quad \left. \times \frac{1}{\left(\left(c_1 - \sqrt{(c_1)^2 - (1 - u^2)^2} \right) - \left(c_2 - \sqrt{(c_2)^2 - (1 - u^2)^2} \right) \right)} \right). \quad (83)
\end{aligned}$$

В результаті внесок підмножини 2 може бути зведений до одновимірного несингулярного

інтегралу, який може бути розрахований, наприклад, методом трапецій:

$$\begin{aligned}
A_1^{\{2\}} &= 16\pi G^4 \frac{1}{m(t)(s-|t|-4M_\mu^2)} \times \\
&\times \int_0^1 du \frac{(1-u^2)^2}{(1+u^2)} \left(\frac{1}{\sqrt{(c_2)^2 - (1-u^2)^2}} \times \right. \\
&\times \frac{1}{\left(c_2 + \sqrt{(c_2)^2 - (1-u^2)^2} - \left(c_1 + \sqrt{(c_1)^2 - (1-u^2)^2} \right) \right)} \times \\
&\times \frac{1}{\left(1 - \frac{c_2 - \sqrt{(c_2)^2 - (1-u^2)^2}}{c_1 + \sqrt{(c_1)^2 - (1-u^2)^2}} \right)} - \\
&- \frac{1}{1 - \frac{c_1 + \sqrt{(c_1)^2 - (1-u^2)^2}}{c_2 - \sqrt{(c_2)^2 - (1-u^2)^2}}} \frac{1}{\sqrt{(c_1)^2 - (1-u^2)^2}} \\
&\times \left. \frac{1}{\left(\left(c_1 - \sqrt{(c_1)^2 - (1-u^2)^2} \right) - \left(c_2 - \sqrt{(c_2)^2 - (1-u^2)^2} \right) \right)} \right). \tag{84}
\end{aligned}$$

5 Результати розрахунків і їх обговорення

Наведені раніше розрахунки дозволяють сформулювати модель пружного розсіяння мезонів, яка враховує суму діаграм, наведених на рис.6. Тобто до діаграм, розглянутих вище ми додаємо діаграми, які від них відрізняються заміною між собою чотириімпульсів P_3 і P_4 . Окрім того, як видно з рис.6 додана сума безпетльових діаграм нижчого порядку. При цьому діаграми різного порядку теорії збурень входять в суму з різними коефіцієнтами, що пов'язано із різними ступенями константи зв'язку, множників $(-i/(2\pi)^4)$ що зіставляються лініям віртуальних частинок і вагових коефіцієнтах діаграм. Оскільки з точки зору зіставлення з експериментом, нас цікавить лише якісний вид диференційного перерізу пружного розсіяння за квадратом переданого чотириімпульса, ми можемо розраховувати суму діаграм на рис.6 з точністю до постійного коефіцієнта. При проведенні розрахунків, ми прийняли, що роль постійного коефіцієнта грає множник перед діаграмами другого порядку. Тобто, цей коефіцієнт ми виносимо за дужки, так що коефіцієнти при діаграмах другого порядку становляться рівними одиниці. Добуток всіх множників при діаграмах четвертого порядку позначатимемо L . Отже маємо модель з двома підгінними параметрами M_G і L . Всі величини розглядаються в безрозмірному виді. Обезрозмірювання проводилося на масу π^0 - мезону, яка дорівнює $\approx 0.135\text{GeV}$. На Рис. 7 наведені результати розрахунку диференційного перерізу пружного розсіяння за допомогою описаної в роботі моделі з урахуванням діаграм на Рис. 6. Ці розрахунки проведені при таких величинах параметрів $\sqrt{s} = 22.5\text{ GeV}, L = 0.09, M_G = 0.05$. Нажаль, експериментальних даних з мезон-мезонного розсіяння, з якими можна було б порівняти отримані результати знайти не вдалося.

Характерною особливістю залежності диференційного перерізу $\frac{d\sigma_{el}}{dt}(t)$ є його немонотонність. Наявність спадаючих ділянок графіку цієї залежності, на наш погляд, є достатньо

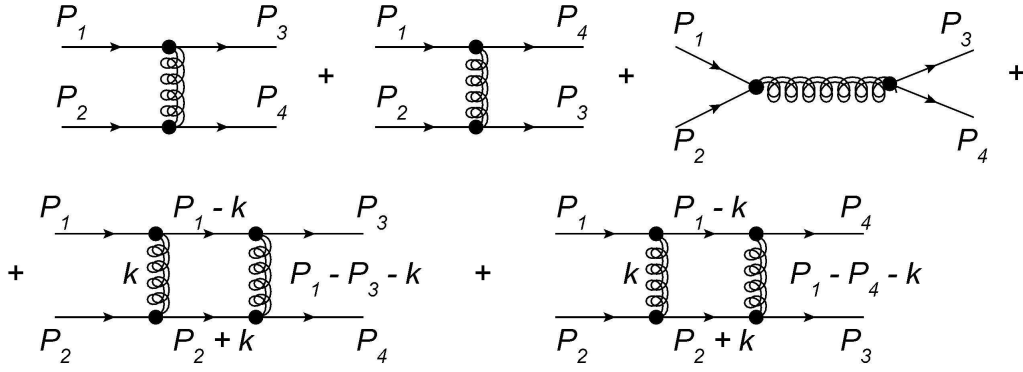


Рис. 6: Сума діаграм пружного розсіяння мезонів в розглянутій моделі

зрозумілою, тому що зростання імпульсу, який передається посередництвом віртуальної частинки, внаслідок співвідношення невизначеностей призводить до зменшення розміру області простору, в якій цю частинку можна спостерігати при вимірюванні і, як наслідок, зменшення відстані, на яку передається цей імпульс. Зменшення цієї відстані, своєю чергою, проявлятиметься як зменшення перерізу. Натомість наявність ділянки Рис. 7, на якій функція $\frac{d\sigma_{el}}{dt}(t)$ зростає, потребує, на нашу думку, більш детального дослідження з точки зору з'ясування фізичного механізму, який до цього зростання призводить. В межах розглянутої моделі, наявність зростаючої ділянки може бути пояснена наступним чином. Як вже зазначалося вище, інтеграл що відповідає діаграмі на Рис. 1 складається з двох внесків, один з яких виражається інтегралом по області

$$\begin{cases} Z_1 = 0, \\ Z_2 = 0, \end{cases} \quad (85)$$

а другий – по області

$$\begin{cases} Z_3 = 0, \\ Z_4 = 0. \end{cases} \quad (86)$$

Аналіз залежності від $|t|$ внеску області (85) призводить до висновку, що він монотонно спадає із зростанням $|t|$. Розглянемо докладніше внесок області (86). Скористаємось для цього системою центру мас, в якій всі чотири тривимірні імпульси мають одну й ту ж саму довжину $P = \sqrt{s/4 - M_\mu^2}$. При цьому розташування координатних вісів оберемо так як показано на Рис. 8. Оскільки в системі центру мас тривимірні імпульси всіх реальних частинок розташовані на двох прямих, що перетинаються, то всі ці імпульси знаходяться в одній площині. Тоді зручно обрати розташування вісів так, щоб одна з координатних площин співпадала з площиною, якій належать $\vec{P}_1, \vec{P}_2, \vec{P}_3, \vec{P}_4$. На Рис. 8 вісі обрано таким чином, щоб \vec{P}_1 і \vec{P}_2 належали вісі x_3 , а \vec{P}_3 і \vec{P}_4 належали площині вісів x_1 і x_3 . Таким чином, вісь x_2 , яка на Рис. 8 перпендикулярна площині рисунку, виявляється перпендикулярною до всіх чотирьох векторів $\vec{P}_1, \vec{P}_2, \vec{P}_3, \vec{P}_4$. Це призводить до того, що компоненти всіх цих векторів уздовж вісі x_2 дорівнюють нулю. Своєю чергою, внаслідок цього, всі чотири множники в (1) виявляються монотонно спадаючими функціями від $(k^2)^2$.

Система рівнянь (86) зводиться до виду

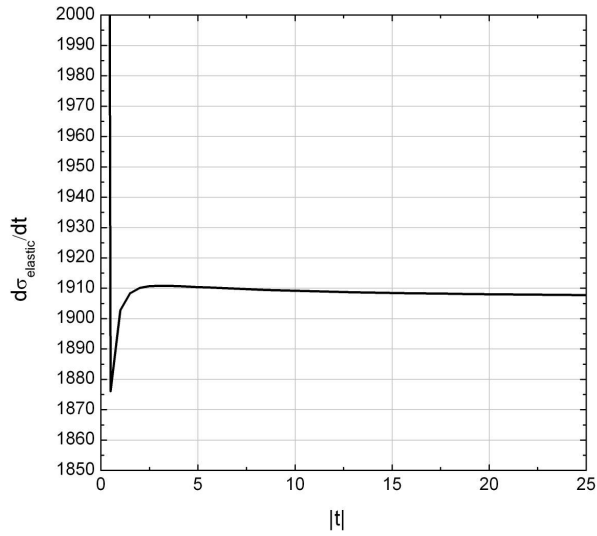


Рис. 7: Результати розрахунку диференційного перерізу пружного мезон-мезонного розсіяння, розрахованого по описаній в цій роботі моделі. По обох вісях відкладено безрозмірні величини, t безрозмірено на квадрат маси π^0 - мезону, а $\frac{d\sigma_{el}}{dt}$ на обернений квадрат маси π^0 - мезону.

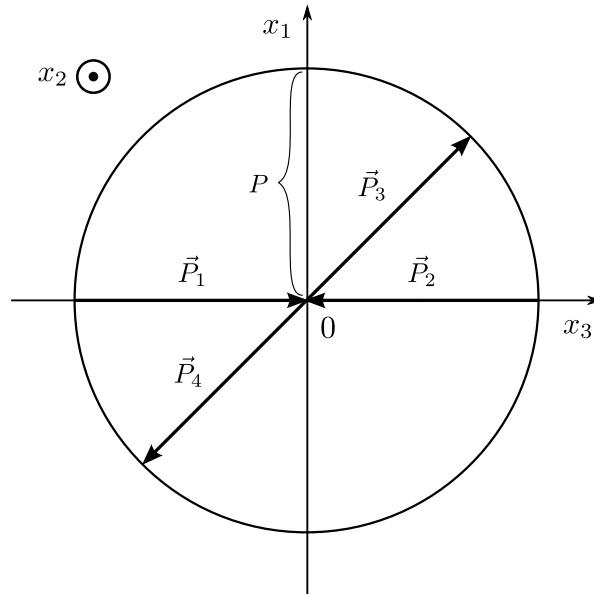


Рис. 8: Обране розташування вісів системи центру мас. Вісі обрані таким чином щоб вісь x_2 , що спрямована перпендикулярно площині рисунку, була ортогональна площині, якій належать всі чотири тривимірні імпульси частинок в початковому і кінцевому станах.

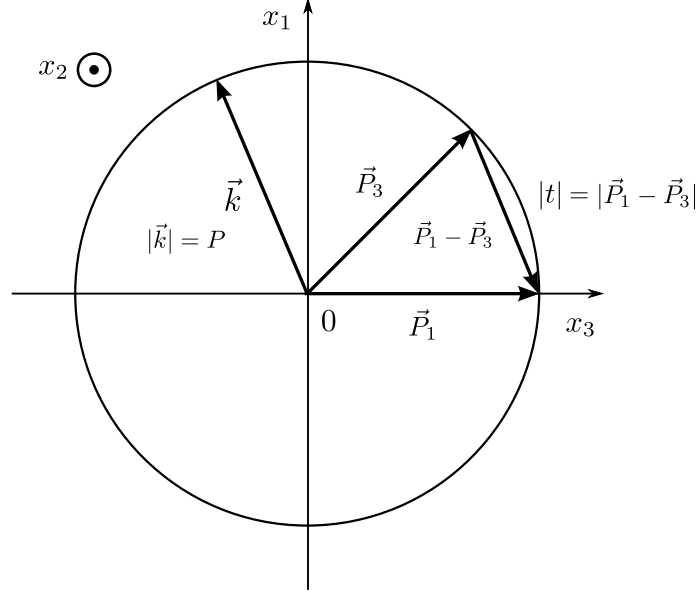


Рис. 9: Область, яка вносить основний внесок в інтеграл по підмножині (86) області інтегрування в (1)

$$\begin{cases} k^0 = 0, \\ |\vec{k}| = P. \end{cases} \quad (87)$$

Отже, якщо застосувати описану вище процедуру, то після наближення $i\varepsilon \rightarrow 0$. матимемо інтеграл від добутку дробів, що відповідають вертикальним лініям діаграми Рис. 1

$$\frac{1}{M_G^2 - (k^0)^2 + |\vec{k}|^2} \frac{1}{M_G^2 - (k^0)^2 + |(\vec{P}_1 - \vec{P}_3) - \vec{k}|^2} \quad (88)$$

уздовж області, що визначається умовами (87). Як видно з (87) і (88), перший з множників на цій області зводиться до константи. Другий множник, внаслідок розглянутої вище монотонно спадаючої залежності від $(k^2)^2$ досягає найбільших значень на підмножині цієї області, що визначається умовою $k^2 = 0$. Ця підмножина є колом радіуса P , розташованим в площині вісів x_2 і x_3 , показаним на Рис. 9 При цьому, як видно з формул (87) і (88), коли вектор \vec{k} пробігає це коло, то найбільший внесок в інтеграл отримаємо від області де величина $|(\vec{P}_1 - \vec{P}_3) - \vec{k}| = |\vec{k} - (\vec{P}_1 - \vec{P}_3)|$ має найменше значення, тобто коли вектор \vec{k} виявляється співспрямованим із $\vec{P}_1 - \vec{P}_3$, як це показано на Рис. 10, де відповідне значення \vec{k} позначене як \vec{k}_{\max} . З Рис. 10 видно, що із зростанням $|t|$ величина $|\vec{k}_{\max} - (\vec{P}_1 - \vec{P}_3)|$ зменшується, що призводить до зростання значення виразу (88) в точці максимуму із зростанням $|t|$. Фізично це можна пояснити таким чином. В області, яка вносить основний внесок в інтеграл, який визначає амплітуду розсіяння, величина імпульсу, який переноситься уздовж першої вертикальної віртуальної лінії (ближчої до \vec{P}_1 і \vec{P}_2) із зростанням $|t|$ є незмінним і дорівнює P . Натомість імпульс, який переноситься уздовж другої віртуальної лінії, зменшується із зростанням $|t|$.

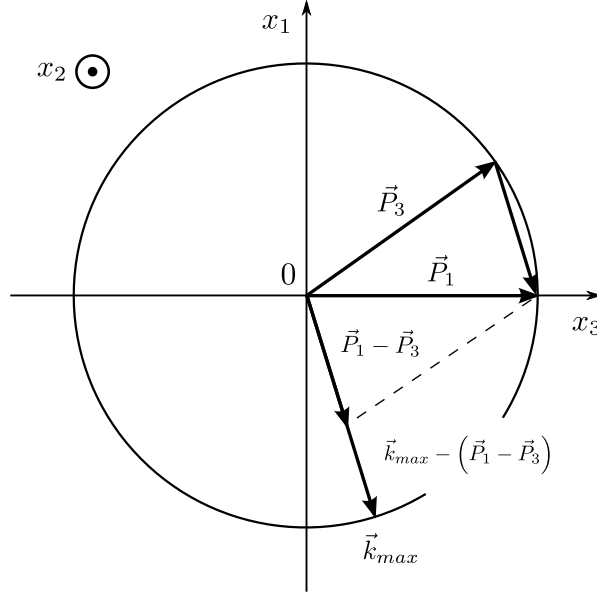


Рис. 10: Значення \vec{k}_{\max} , за якого досягається максимальний внесок від області (86) в інтеграл (1)

Тому збільшується область простору, в якій відповідна віртуальна частинка може взаємодіяти із іншими частинками так, щоб утворився процес, що описується діаграмою Рис. 1. Це, своєю чергою, призводить до появи зростаючого із зростанням $|t|$ внеску в диференційний переріз $\frac{d\sigma_{el}}{dt}(t)$. В цій роботі ми розглянули модель взаємодіючих скалярних полів, як найбільш просту для того, щоб сконцентруватися на розробці методу розрахунку петльової діаграми. Нажаль, наявні експериментальні результати відповідають лише ситуації, коли хоча б одна з частинок в вихідному стані має відмінний від нуля спін. Запропонований в цій роботі метод можна далі застосовувати до розрахунку петльових амплітуд розсіяння частинок із ненульовим спіном, однак при цьому ми очікуємо прояв додаткових механізмів утворення зростаючих із $|t|$, пов'язаних із суто спіновими ефектами. Виявлення суттєвості різних механізмів формування немонотонності залежності $\frac{d\sigma_{el}}{dt}(t)$ розглядається нами як подальша задача.

Література

- [1] R. P. Feynman. Space-time approach to quantum electrodynamics. *Phys. Rev.*, 76:769–789, Sep 1949. doi: 10.1103/PhysRev.76.769. URL <https://link.aps.org/doi/10.1103/PhysRev.76.769>.
- [2] Giulia Pancheri and Yogendra N. Srivastava. Introduction to the physics of the total cross section at lhc. *The European Physical Journal C*, 77(3):150, Mar 2017. ISSN 1434-6052. doi: 10.1140/epjc/s10052-016-4585-8. URL <https://doi.org/10.1140/epjc/s10052-016-4585-8>.
- [3] И. М. Дрёмин. Упругое рассеяние адронов. *Усп. физ. наук*, 183(1):3–32, 2013. doi: 10.3367/UFNr.0183.201301a.0003. URL <https://ufn.ru/ru/articles/2013/1/b/>.
- [4] Ю. П. Никитин and И. Л. Розенталь. *Ядерная физика высоких энергий*. Атомиздат, 1980.

- [5] V. N. Gribov. A REGGEON DIAGRAM TECHNIQUE. *Sov. Phys. JETP*, 26:414–422, 1968. [Zh. Eksp. Teor. Fiz.53,654(1967)].
- [6] M. Baker and K.A. Ter-Martirosyan. Gribov’s reggeon calculus: Its physical basis and implications. *Physics Reports*, 28(1):1 – 143, 1976. ISSN 0370-1573. doi: [https://doi.org/10.1016/0370-1573\(76\)90002-8](https://doi.org/10.1016/0370-1573(76)90002-8). URL <http://www.sciencedirect.com/science/article/pii/0370157376900028>.
- [7] А. Б. Кайдалов. Особенность Померанчука и взаимодействия адронов при высоких энергиях. *Успехи физических наук*, 173(11):1153–1170, 2003. doi: 10.3367/UFNr.0173.200311a.1153. URL <http://ufn.ru/ru/articles/2003/11/a/>.
- [8] Claude Bourrely, Jacques Soffer, and Tai Tsun Wu. Impact picture phenomenology for π^+ -p, K^+ -p and pp , $\bar{p}p$ elastic scattering at high-energies. *Eur.Phys.J.*, C28:97–105, 2003. doi: 10.1140/epjc/s2003-01159-7.
- [9] V.S. Fadin, E.A. Kuraev, and L.N. Lipatov. On the pomeranchuk singularity in asymptotically free theories. *Physics Letters B*, 60(1):50 – 52, 1975. ISSN 0370-2693. doi: [https://doi.org/10.1016/0370-2693\(75\)90524-9](https://doi.org/10.1016/0370-2693(75)90524-9). URL <http://www.sciencedirect.com/science/article/pii/0370269375905249>.
- [10] Л. Н. Липатов. Бьёркеновская и реджевская асимптотики амплитуд рассеяния в квантовой хромодинамике и суперсимметричных калибровочных моделях. *Усп. физ. наук*, 178(6):663–668, 2008. doi: 10.3367/UFNr.0178.200806m.0663. URL <https://ufn.ru/ru/articles/2008/6/m/>.
- [11] Э. А. Кураев, Л. Н. Липатов, and В.С. Фадин. Особенность Померанчука в неабелевых калибровочных теориях. *ЖЭТФ*, 72:377–389, 1977.
- [12] І. В. Шарф, А. В. Тіхонов, Г. О. Сохранний, К. В. Яткін, М. А. Делієргієв, et al. Метод Лапласа для опису непружного розсіяння адронів і нові механізми зростання перерізів. *УФЖ*, 56:1151–1164, 2011.
- [13] Igor Sharph, Andrii Tykhonov, Grygorii Sokhrannyi, Maksym Deliyergiyev, Natalia Podolyan, et al. On the Role of Longitudinal Momenta in High Energy Hadron-Hadron Scattering. *Central Eur.J.Phys.*, 10:858–887, 2012. doi: 10.2478/s11534-012-0056-5.
- [14] Richard Easther, Gerald Guralnik, and Stephen Hahn. Fast evaluation of feynman diagrams. *Phys. Rev. D*, 61:125001, May 2000. doi: 10.1103/PhysRevD.61.125001. URL <https://link.aps.org/doi/10.1103/PhysRevD.61.125001>.
- [15] GUDRUN HEINRICH. Sector decomposition. *International Journal of Modern Physics A*, 23(10):1457–1486, 2008. doi: 10.1142/S0217751X08040263. URL <https://doi.org/10.1142/S0217751X08040263>.
- [16] Zhao Li, Jian Wang, Qi-Shu Yan, and Xiaoran Zhao. Efficient numerical evaluation of feynman integrals. *Chinese Physics C*, 40(3):033103, mar 2016. doi: 10.1088/1674-1137/40/3/033103. URL <https://doi.org/10.1088%2F1674-1137%2F40%2F3%2F033103>.
- [17] Н.Г. Де Брёйн. *Асимптотические методы в анализе*. 1961.

- [18] I.V. Sharf, K.K. Merkotan, N.A. Podolyan, D.A. Ptashynskyy, A.V. Tykhonov, et al. Gluon Loops in the Inelastic Processes in QCD. *arXiv*, 2012. arXiv:1210.3490.
- [19] N. Chudak, M. Deliyergiyev, K. Merkotan, O. Potiienko, D. Ptashynskiy, Y Shabatura, G. Sokhrannyi, A. Tykhonov, Y. Volkotrub, I. Sharph, and V. Rusov. Multi-particle quantum fields. *Physics Journal*, 2(3):181–195, 2016.
- [20] N O. Chudak, K K. Merkotan, D A. Ptashynskiy, O S. Potiienko, I Sharph, and V I. Bregid. The calculation of the differential cross section of hadron elastic scattering by transferred four-momentum within the perturbation theory. *Journal of Physical Studies*, 23, 01 2019. doi: 10.30970/jps.23.1101.